

# Contents

- 1. 緒論:研究背景・目的
- 2. 現地観測:広域深浅測量・採泥調査-山国川・中津干潟
- 3. 数值計算:

河川と沿岸域の土砂動態・地形変化モデル WDM-POM +河川の土砂量算定モデル gRSM

- 4. 現地観測・数値計算:河川の流量・土砂量算定手法の高精度化-利根川・五料橋
- 5. 数値計算:流域土砂流出モデルー吾妻川流域
- 6. 地域シンポジウム「中津アカデミア」
- 7. 結論
- 8. 今後の予定

1. 緒論:研究背景・目的

地球温暖化→気象変化→地盤・河川災害の多発、海岸侵食の加速化

- →ソフト・ハード対策の充実、ハード対策の問題点:時間・資金・用地
- ⇒ダム・堰の容量再確保,海岸線回復 ⇒「排砂」
- →「排砂」の課題点:
  - ①中流域の河床上昇による氾濫の助長抑制
  - ②海岸線回復の定量的予測
  - ③質的管理による漁業被害抑制 ~黒部川連携排砂
- **⇒**事前の「**排砂シミュレーション**」による検討 ~吉井・佐藤 (2010)
- → 「排砂シミュレーション」の問題点: 定量的精度の低さ
- →鵜﨑ら(2021)〜**現地観測と数値計算**による河川・海岸の土砂量算定・地形変化予測手法の確立 「潮汐と風波を考慮した泥と砂による広域土砂動態・地形変化モデル:WDM-POM」 「実測データと簡易モデルによる河川の土砂量算定モデル:gRSM」

3

#### 【広域土砂動態の重要性】

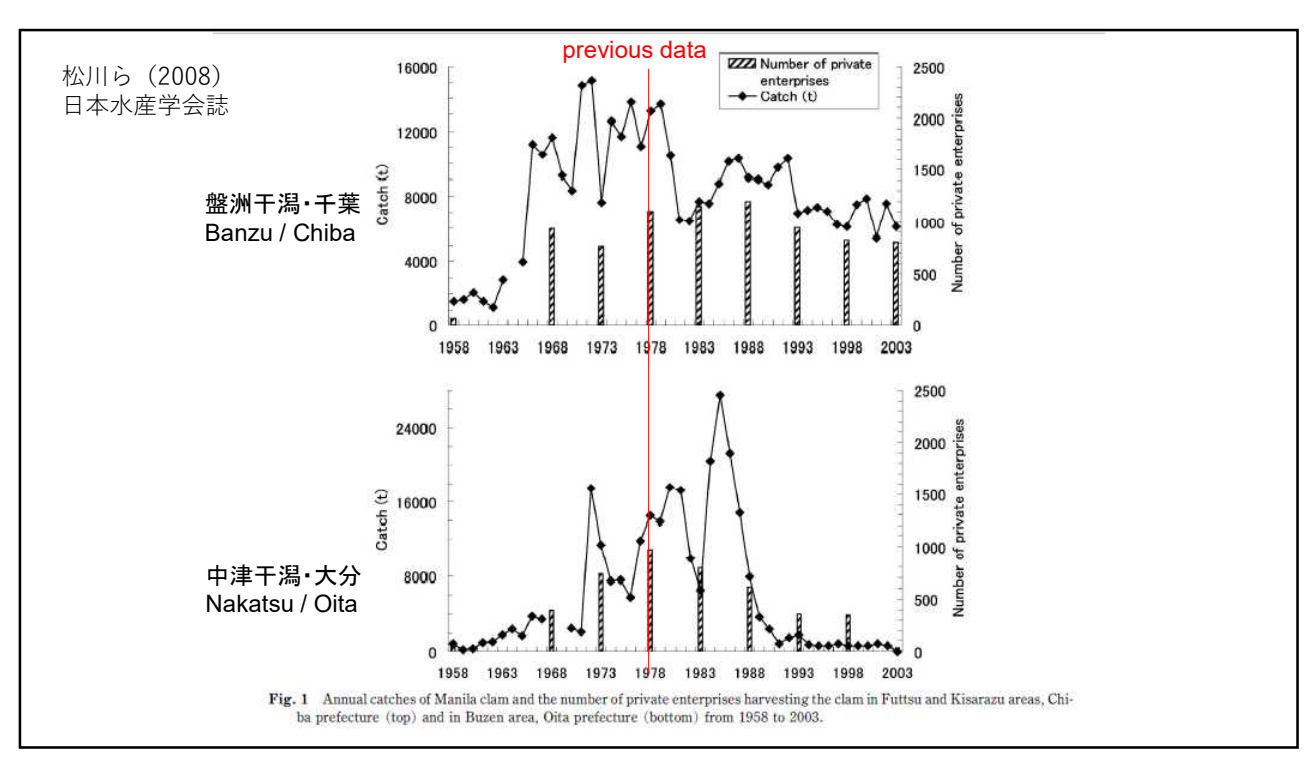
- →対象フィールド①:大分県山国川と中津干潟 ~防災・産業振興と環境問題 アサリを中心とした中津干潟の漁獲量急減と干潟の侵食・泥質化 『 耶馬渓ダム・平成大堰、中津港の拡張事業の影響? 2012・17・20九州豪雨災害、エ・農・上水取水の可動堰、 ダイハツの輸出拠点
- →侵食・泥質化の実態把握と予測・対策 ~砂と泥の生産・輸送,侵食・堆積機構
- →SPR-WDMPOM (Sediment Production and River sediment transport with WDM-POM) : 流域土砂流出モデル +河川の土砂量算定モデル:gRSM + 沿岸域の広域土砂動態・地形変化モデル:WDM-POM

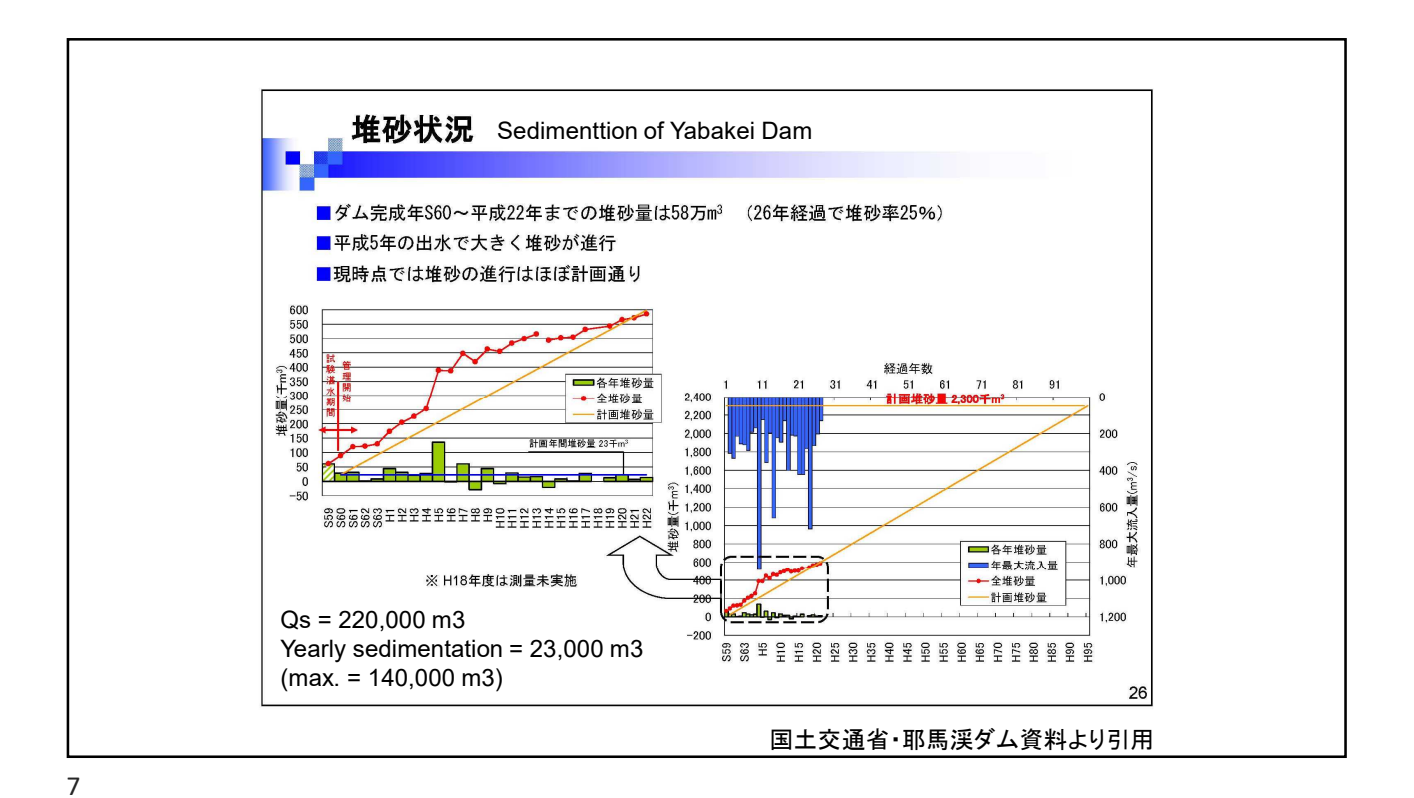
#### 現地データを取り込んだ<u>定量的精度のある</u>広域土砂動態予測

- ➡ダム・堰の容量再確保,河床低下対策,侵食・泥質化対策
- ➡河川管理・干潟の保全・水産業回復
- +対象フィールド②:利根川上中流域:利根川八斗島水位観測所埋没問題への現地適用
- →地域シンポジウム「中津アカデミア」(NPO法人「水辺に遊ぶ会」主催)の継続開催 地域市民と行政一体による現状把握と対策検討・遂行 →地域再生策の一環

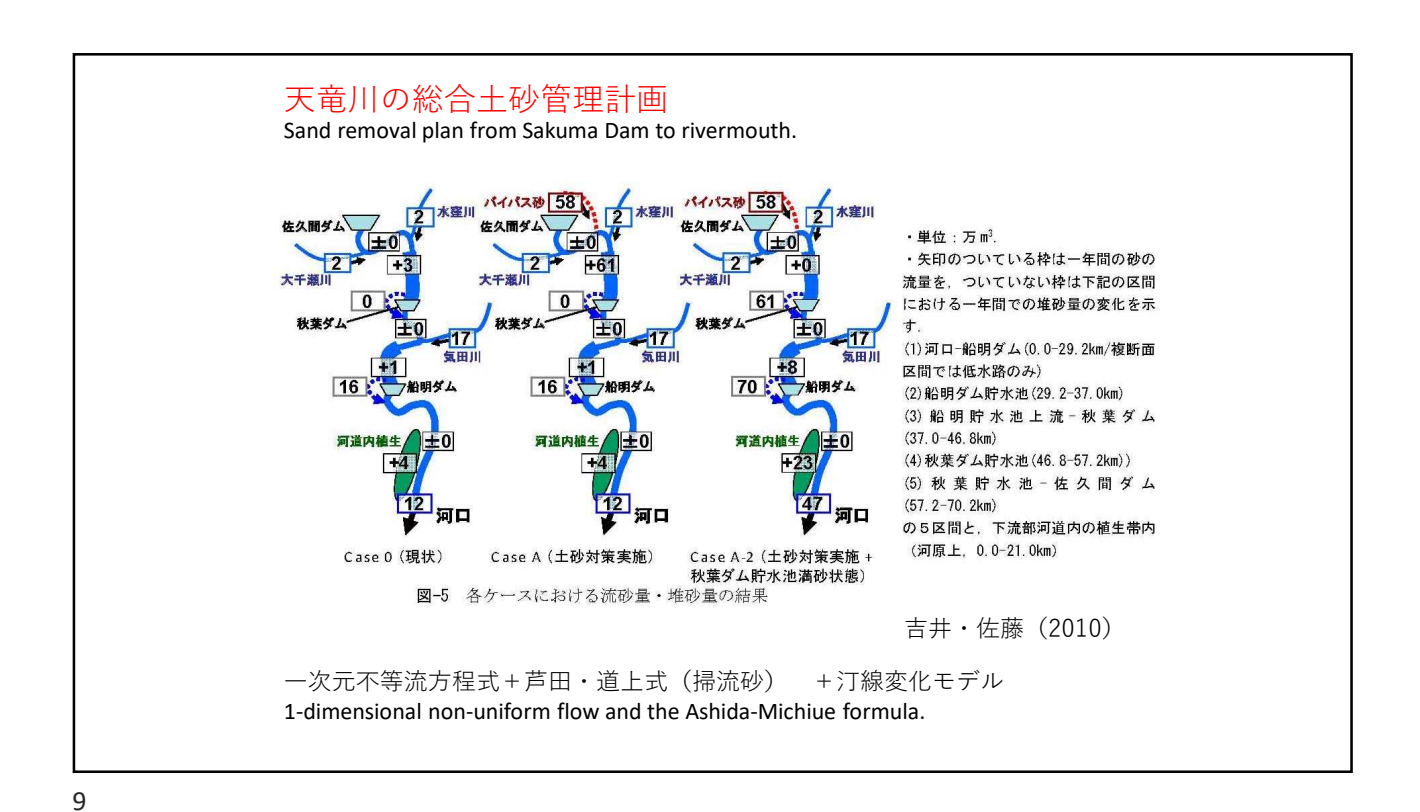


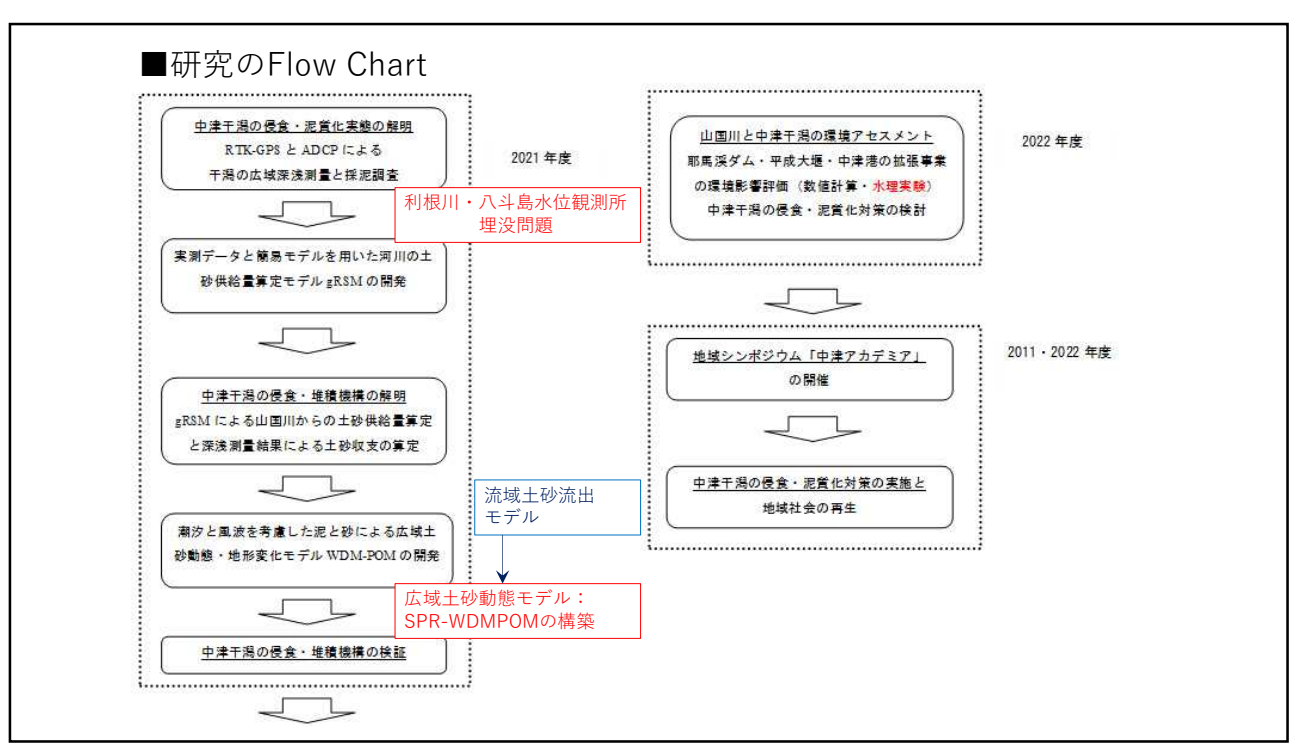






芦田·奥村(1974):  $Q_s=KA^{-0.7}$  К:流出係数, А:流域面積 ⇒ f(Q):流量に依存した形へ! 104 山国川堆砂量 = 480×540 = <u>約26万㎡/年</u> 耶馬溪ダム堆砂量 = 約2.3万 m³/年 200 😤 山国川からの推定流出土砂量 職を報出 10<sup>1</sup> = 26 万-2 万 = 約24万㎡/年 犬丸川堆砂量 = 200×74 100 = <u>約1万㎡/年</u> 74 10<sup>2</sup> 54010<sup>3</sup> (犬丸) 74 10° 54010 (大丸) (山国川) 流域面積と比堆砂量との関係(県別) (実線は芦田・奥村 (1974) による成果) 資料:「橋本晴行・永野博之(2008): 九州におけるダム堆砂の実態と土砂流出特性, 第4回土砂災害に関するシンポジウム論文集」 Traditional estimation method of sediment discharge from rivers.



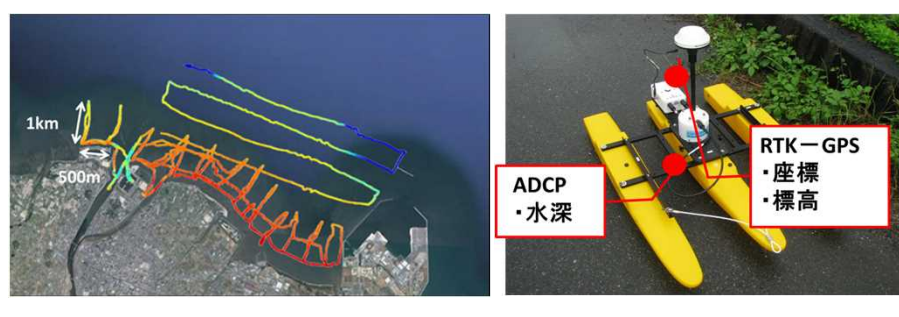


# ■山国川と中津干潟の広域深浅測量・採泥調査

#### ✓ 広域深浅測量

- ・小型ボート観測・・・汀線から岸沖1km範囲の浅海部を、沿岸方向に500m間隔で岸沖方向14測線
  - ⇒RTK-GPSによる踏査観測
- ・漁船での観測・・・岸沖1km~3kmの沖合い部を、岸沖方向に500m間隔で沿岸方向4測線

#### ✓採泥調査

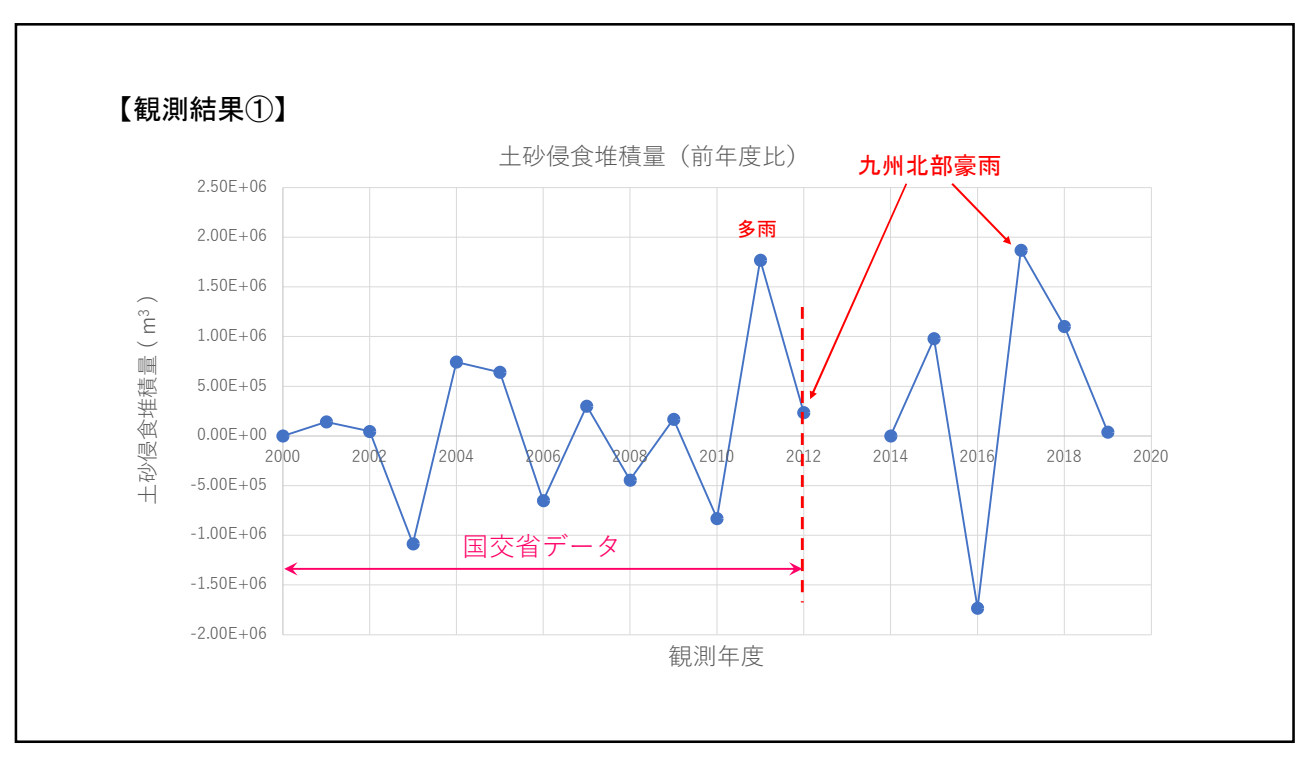


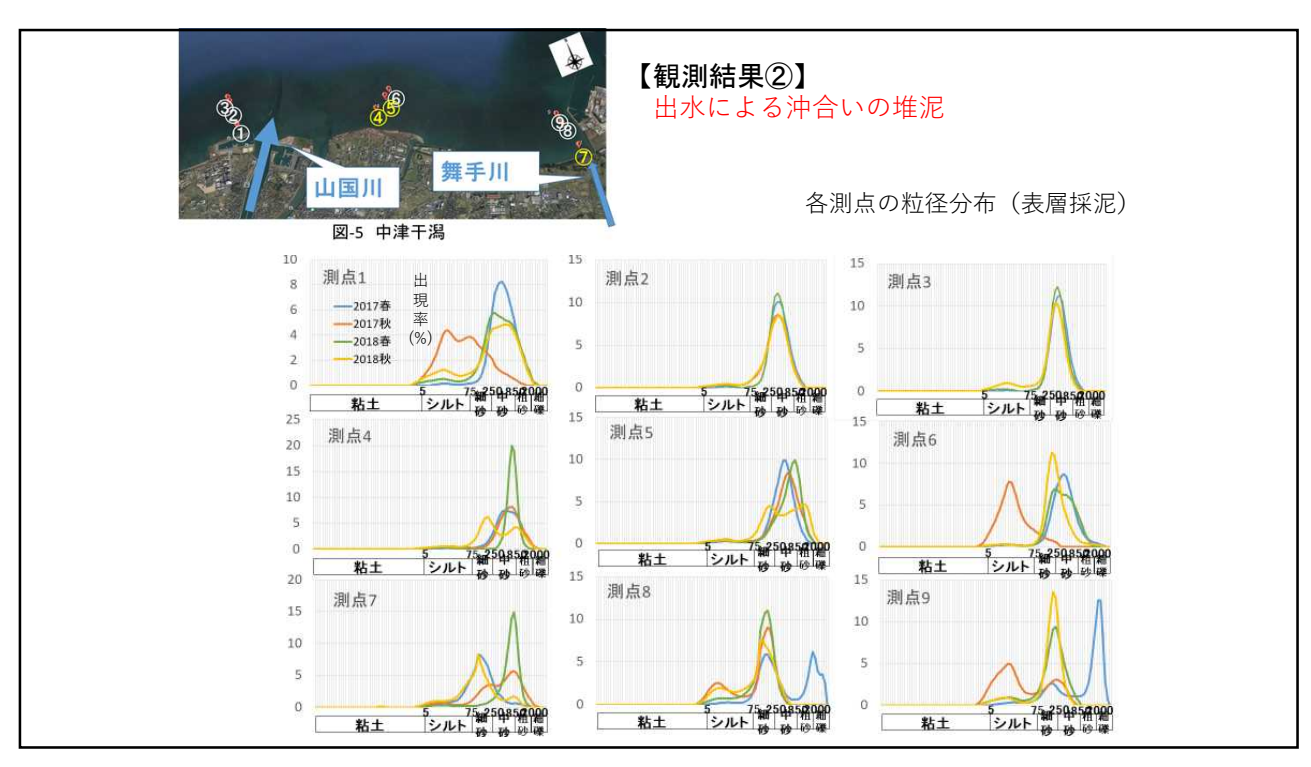
観測線(2014年5月30,31日)

観測機材(ADCPとRTK-GPS)



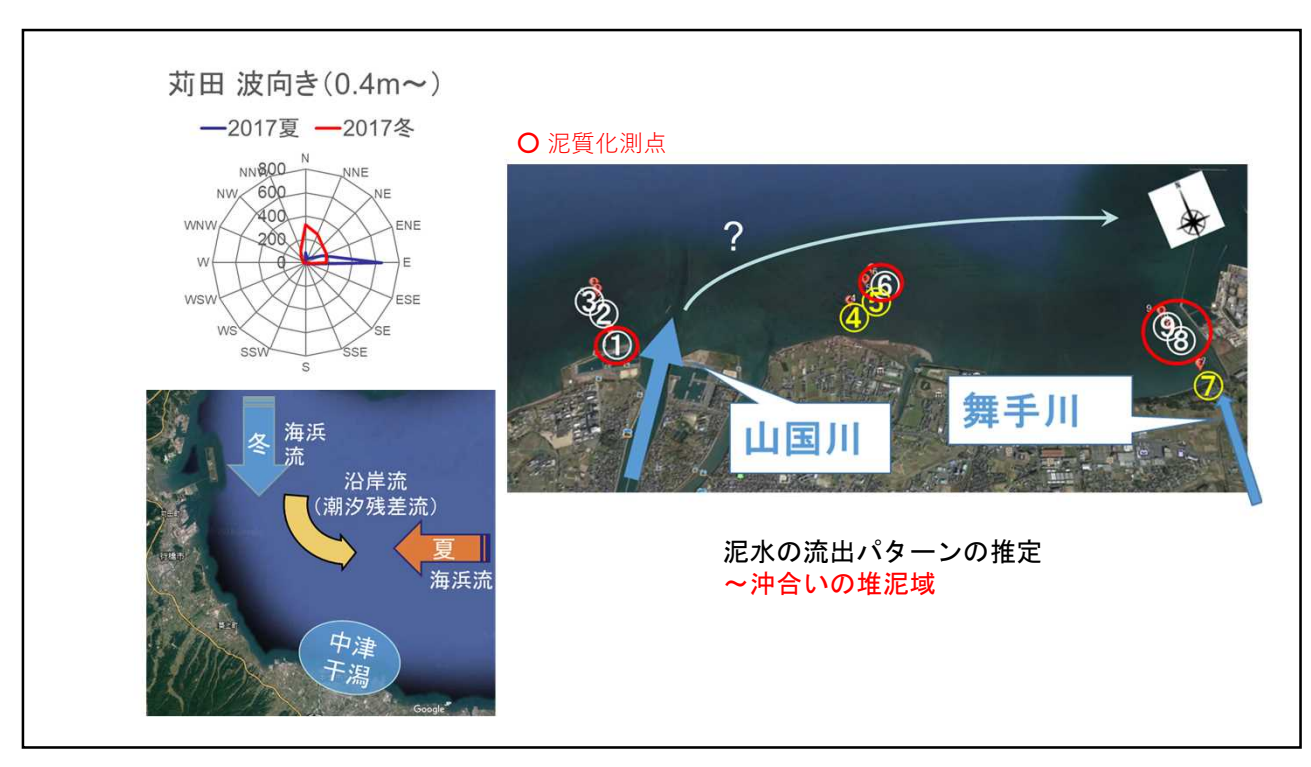
採泥地点

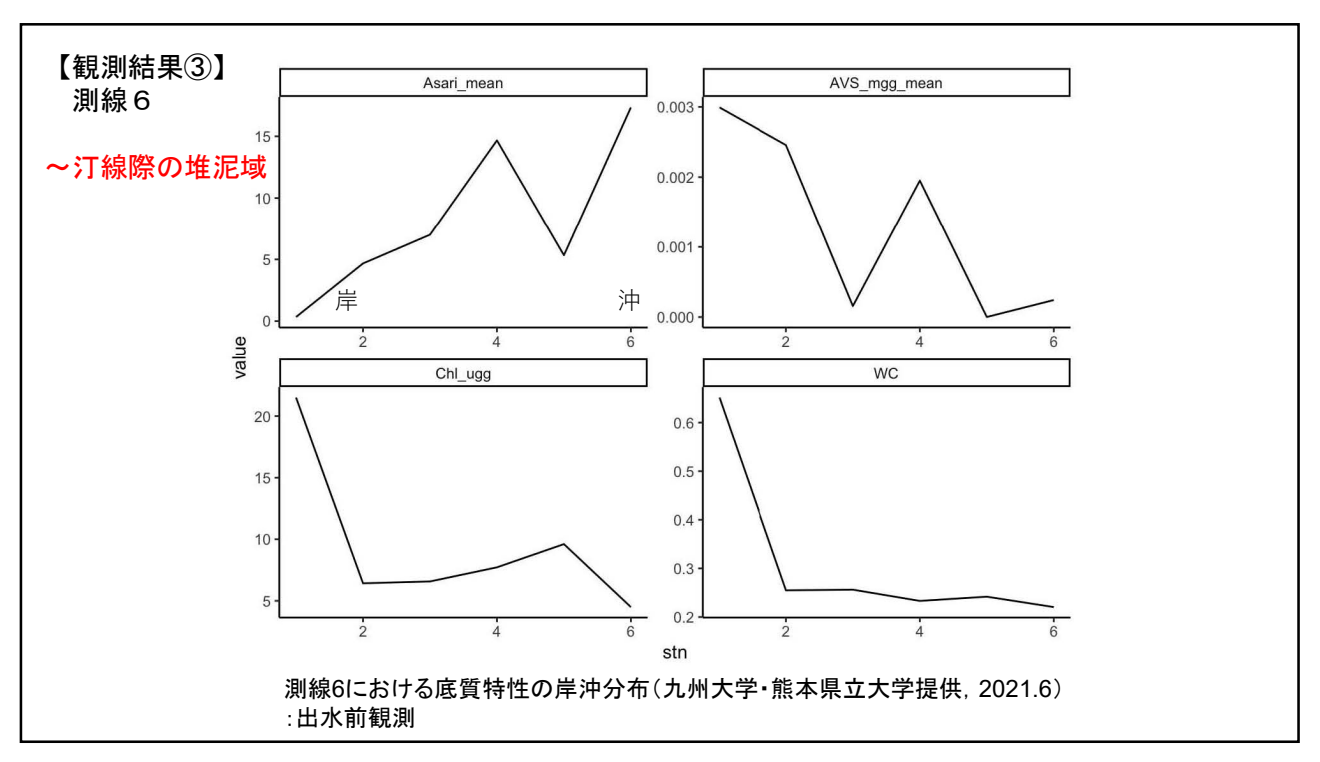




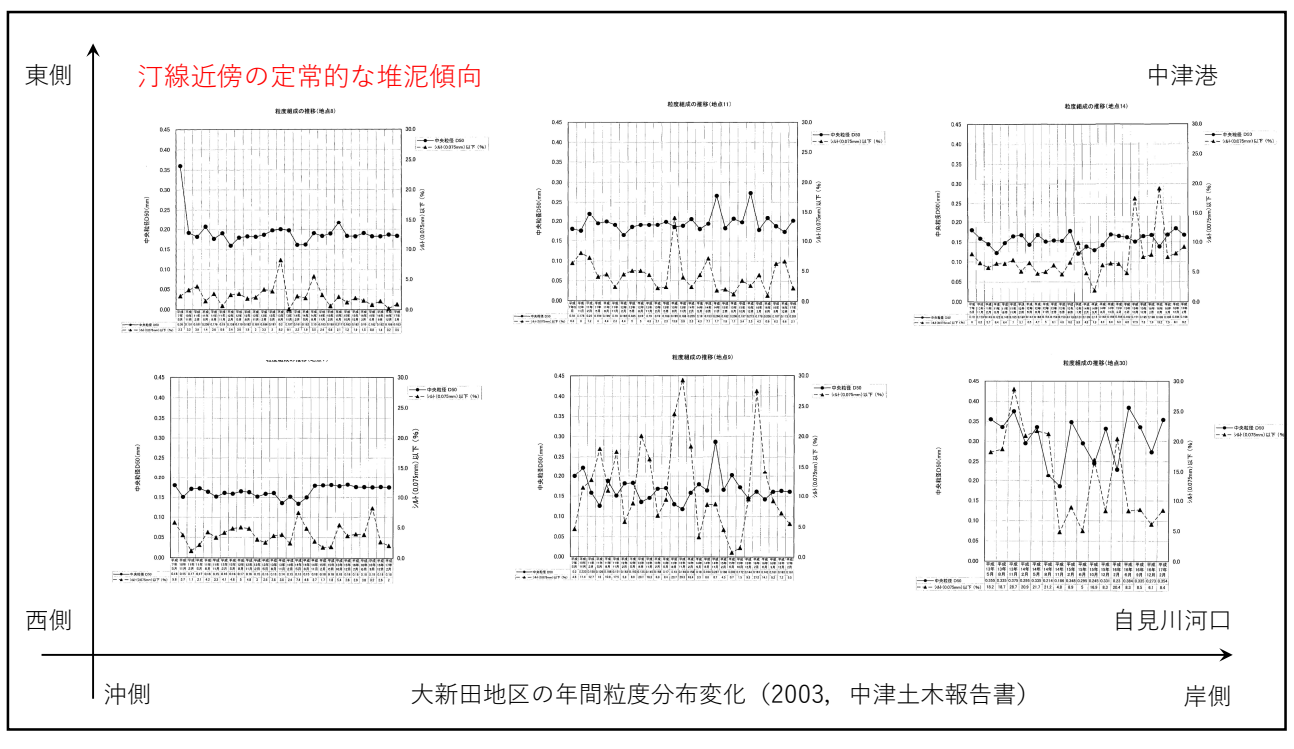
降雨・流量データ表

Total		Total Preci	pitation (mm)	Maximum River Discharges (m³/s)	Total River Discharges (m³)	
	July	484.5		9	<u> </u>	
2017	Aug	174.5	943.5	2259.0	64220.8	
	Sept	284.5				
	July	422.5				
2018	Aug	9.5	845.0	2301.9	64499.6	
	Sept	413.0				
		Number of Precipitation > 20 mm/h	Total Precipitation > 20 mm/h (mm)	Total Precipitation (mm)	Ratio of Precipitation > 20 mm/h (%)	Maximum Precipitation Strength (mm/h)
	July	6	184.0	484.5	38.0	48.0
2017	Aug	2	57.0	174.5	32.7	40.0
	Sept	1	33.0	284.5	11.6	46.5
	July	3	73.0	422.5	17.3	36.0
2018	Aug	0	0.0	9.5	0.0	2.5
	Sept	0	0.0	413.0	0.0	22.5









# Interlude

- □出水時:
- ・大規模出水→東向きに沖合堆泥
- ・小規模出水→細砂の供給
- →降雨強度の相違?

- □平常時:
- ・汀線近傍に通年的な堆泥域
- →齋田ら(2017):上げ潮に伴う再懸濁・ 再凝集・再沈降過程による汀線近傍の堆泥機構?
- →Winterwerp Model?,乱れの評価?

19

■簡易モデルと実測データによる河川の土砂供給量算定モデル:gRSM (Gunma university River Sediment discharge Model)

#### 【掃流砂量】

- 流量データQ
- ・断面形状を考慮したManning式

ADCPによる実測データによる $au_0$ 補正

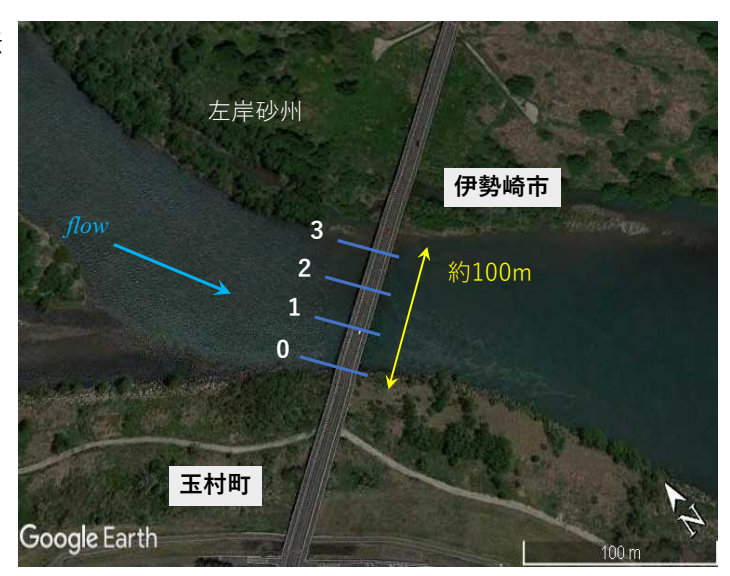
- ・反復解法 $\rightarrow$ 水深 $h\rightarrow$ 断面平均流速 $v_m\rightarrow$ 底面剪断応力 $\tau_0$  $\rightarrow$ 無次元掃流力 $\tau_*$
- ・芦田・道上式→掃流砂量 ←ADCPによる実測データによるq<sub>b</sub>補正(Rennie et al., 2002)

#### 【浮遊砂量】

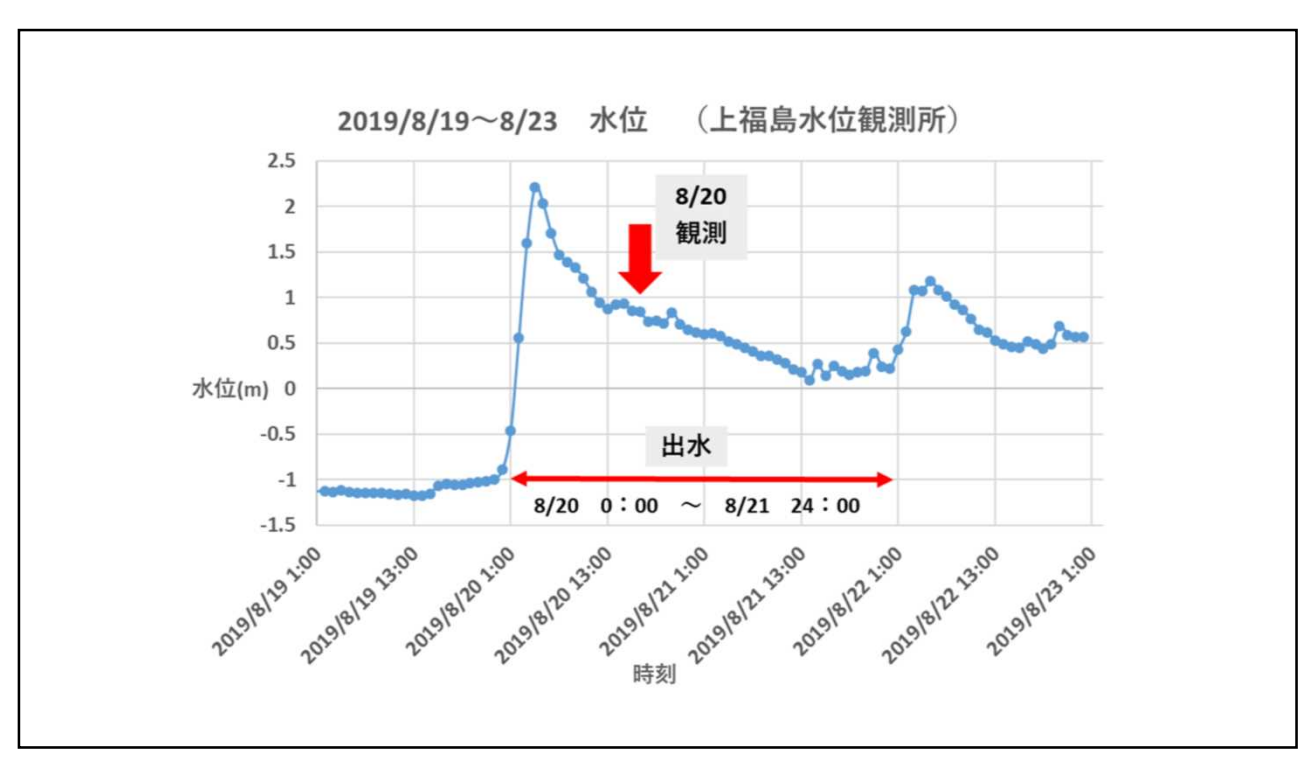
- ・流量データQ
- ·LQ式→浮遊砂量

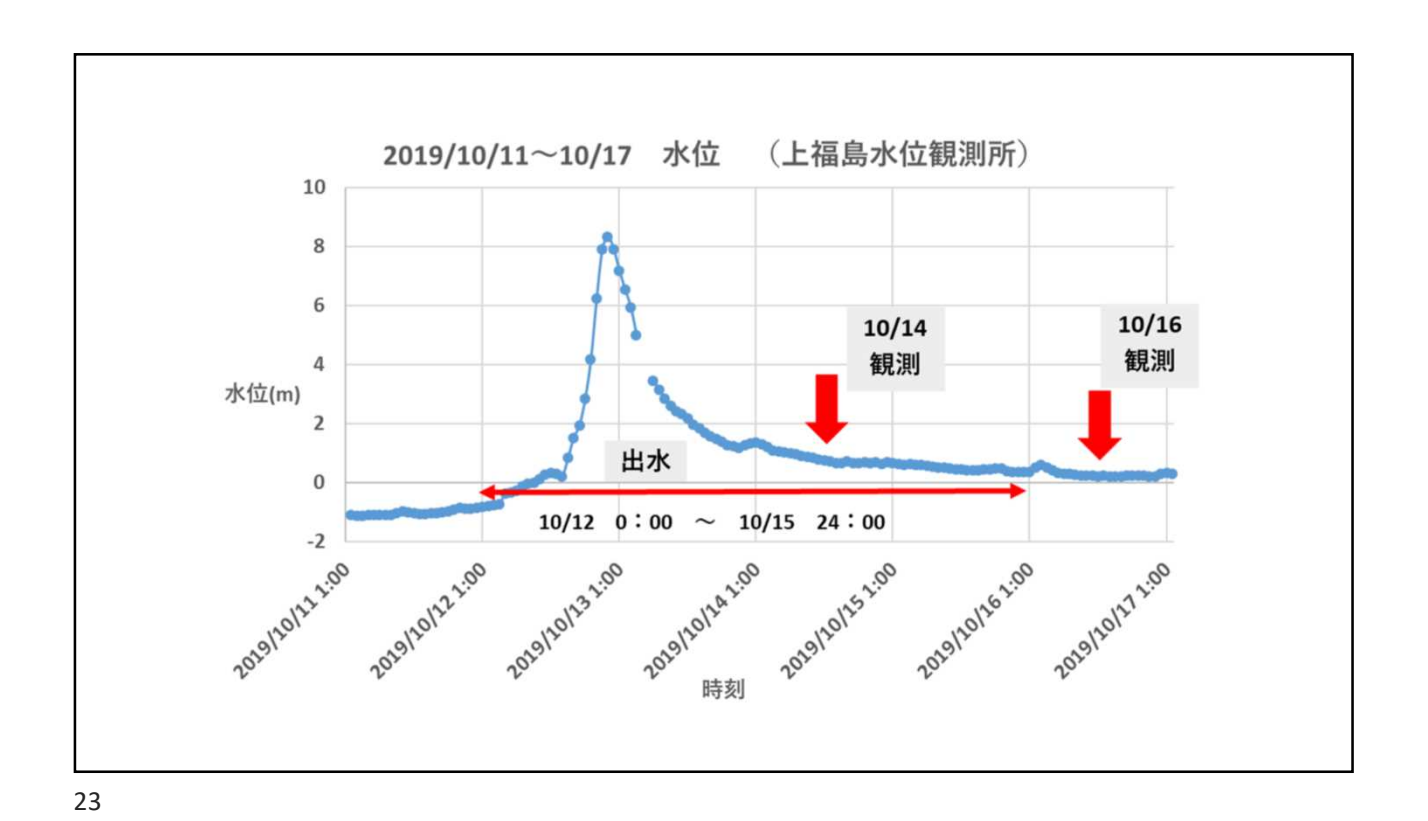
# ■利根川・五料橋における観測手法

- 1. 横断面観測 = 曳航観測 ~ADCP+River Boatを橋に沿って移動
- 2. 定点観測 = ADCP + River Boatを各測点に固定係留 → Bottom Track Speed
- 3. 採水(Vandorn) ⇒浮遊砂濃度
- 4. 底質採取 (Ekman Berge) ⇒掃流砂粒径

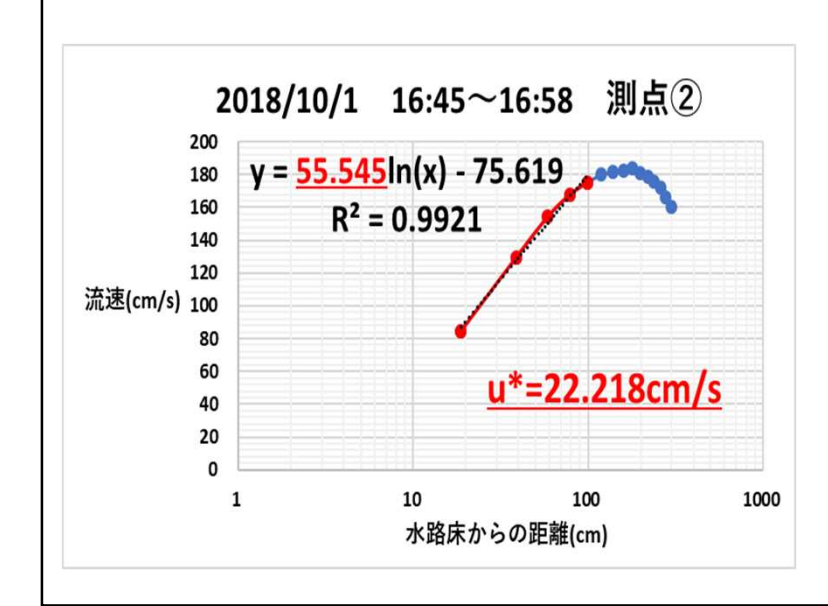


五料橋空撮と観測断面位置





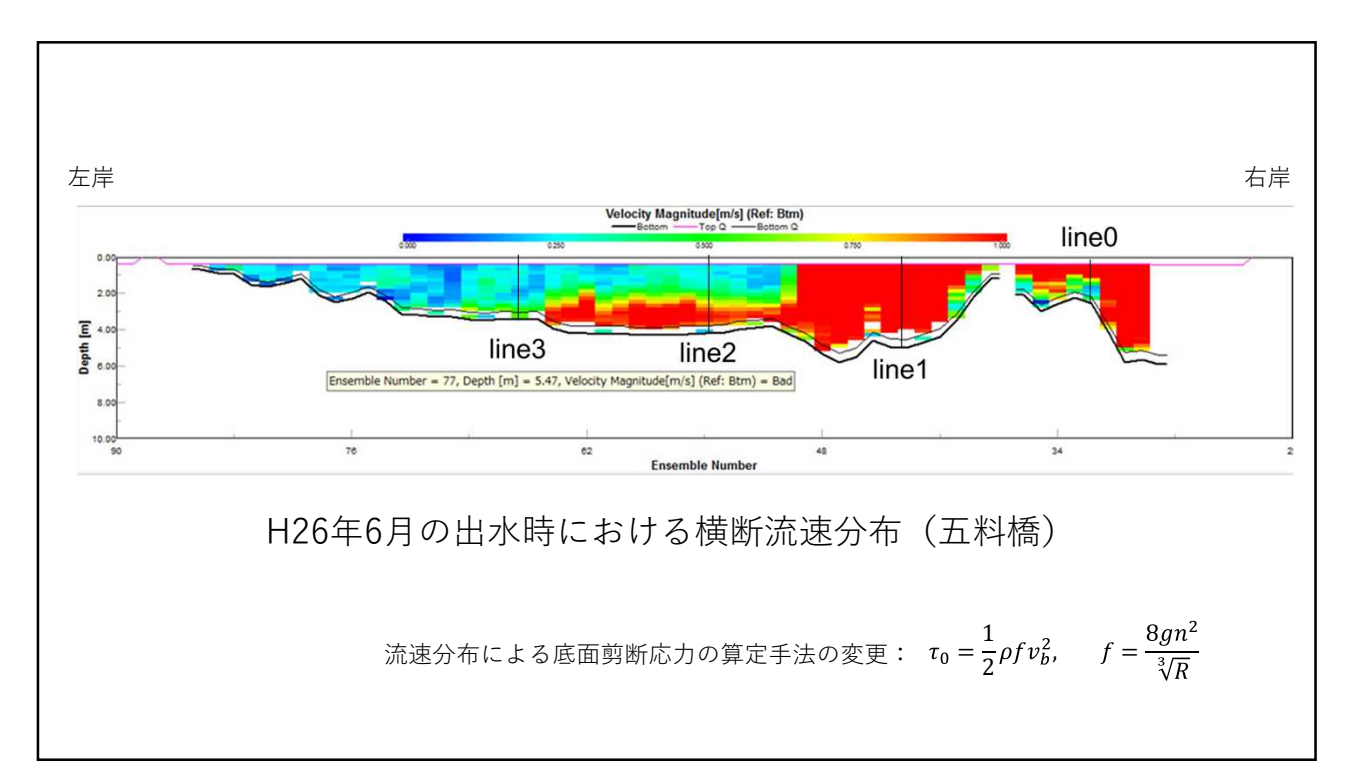
■掃流砂量:底面剪断応力 r<sub>0</sub>の算定



# 流速の対数分布則

$$u = \frac{u_*}{k} \ln z + C$$
 ...profile $ot \pm$ 

(カルマン定数: k = 0.4)



#### ■掃流砂量の実測値

掃流砂量(単位幅):  $q_b = v_s \cdot h_s \cdot c_s$ 

 $ightharpoonup v_s \sim {
m ADCP} \oslash {
m Bottom\ Track\ Speed\ } ({\it Rennie\ et\ al.}, 2002)$ 

 $v_s$ :<mark>河床移動速度</mark>  $h_s$ :移動層厚  $c_s$ :掃流砂層土砂濃度

# $h_s \cdot c_s$ を<mark>江頭の式</mark>から算出

$$h_{s} \cdot C_{s} = d \cdot \frac{1}{\cos \theta} \cdot \frac{1}{\tan \varphi_{s}/(1+\alpha) - \tan \theta} \cdot \tau_{*}$$

$$\tau_{*} = \frac{u_{*}^{2}}{(\sigma/\rho - 1)gd}$$

d:砂の粒径

θ:河床勾配

 $\varphi_s$ :砂の内部摩擦角

α: 動的水圧と静的水圧の比

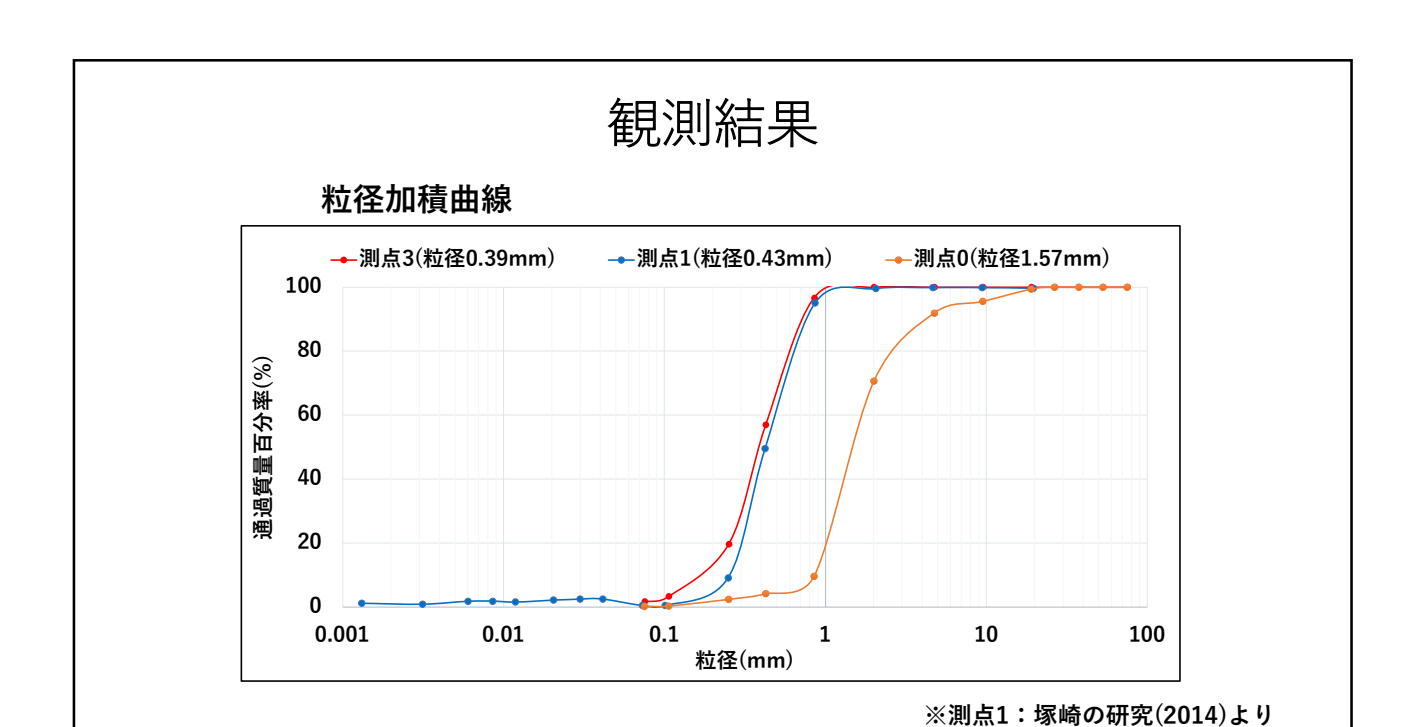
 $\tau_*$ :無次元掃流力

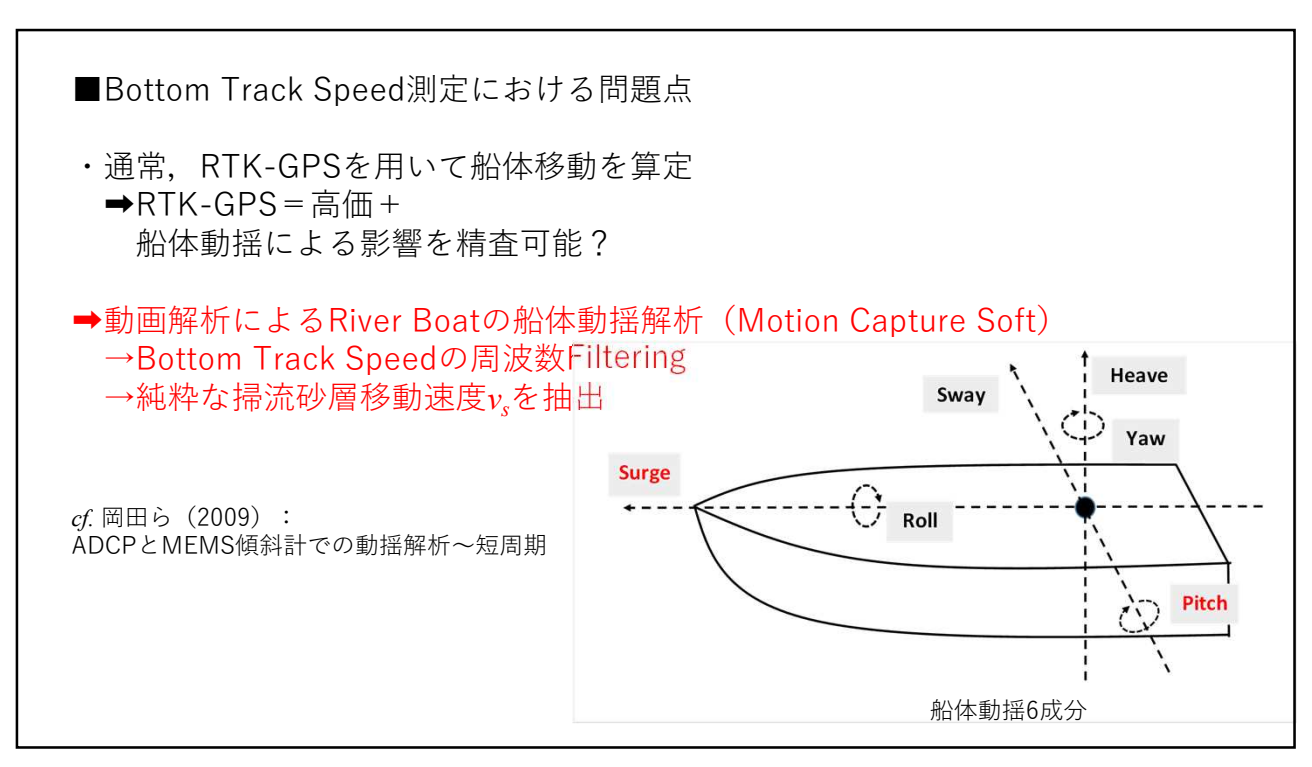
u<sub>\*</sub>:摩擦速度

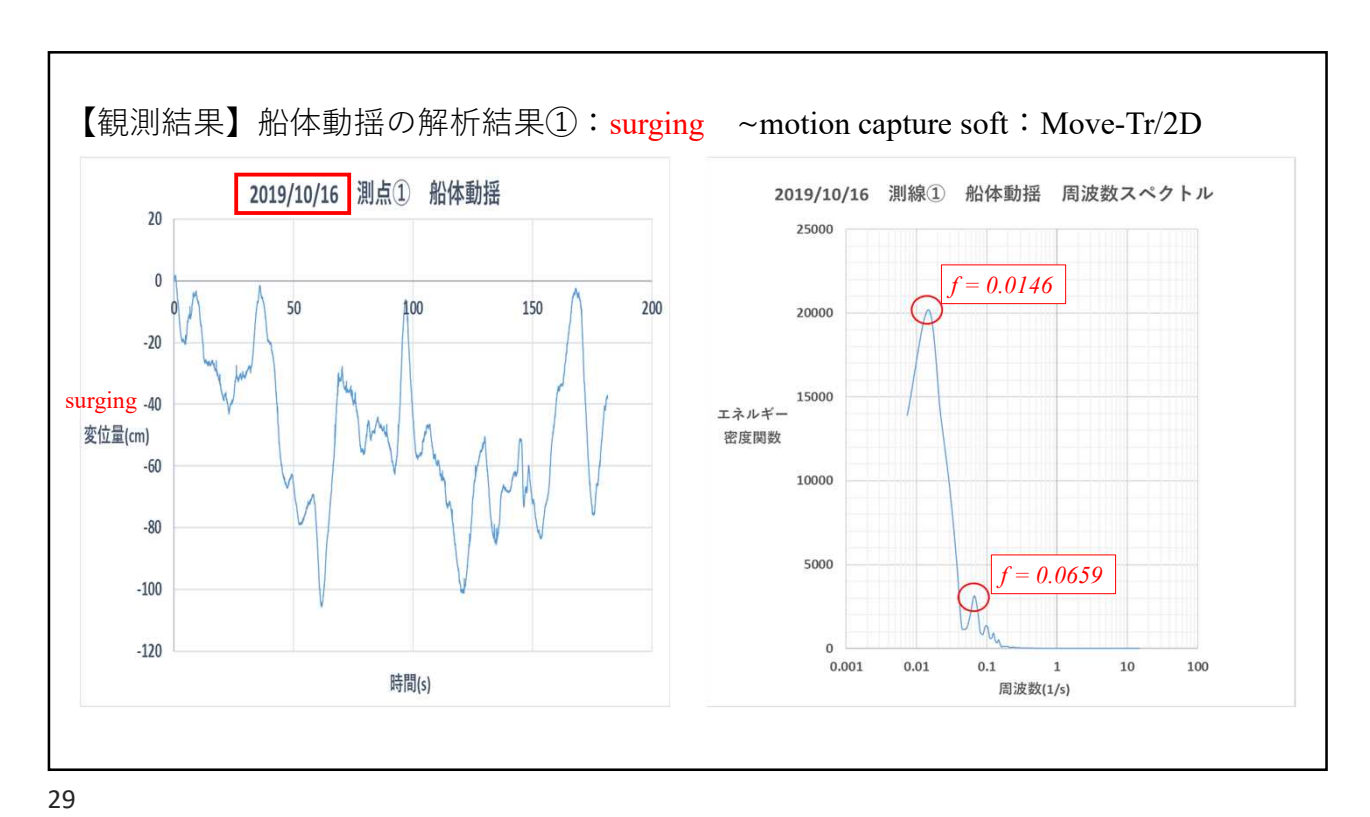
 $\sigma$ : 砂の密度

ρ:水の密度

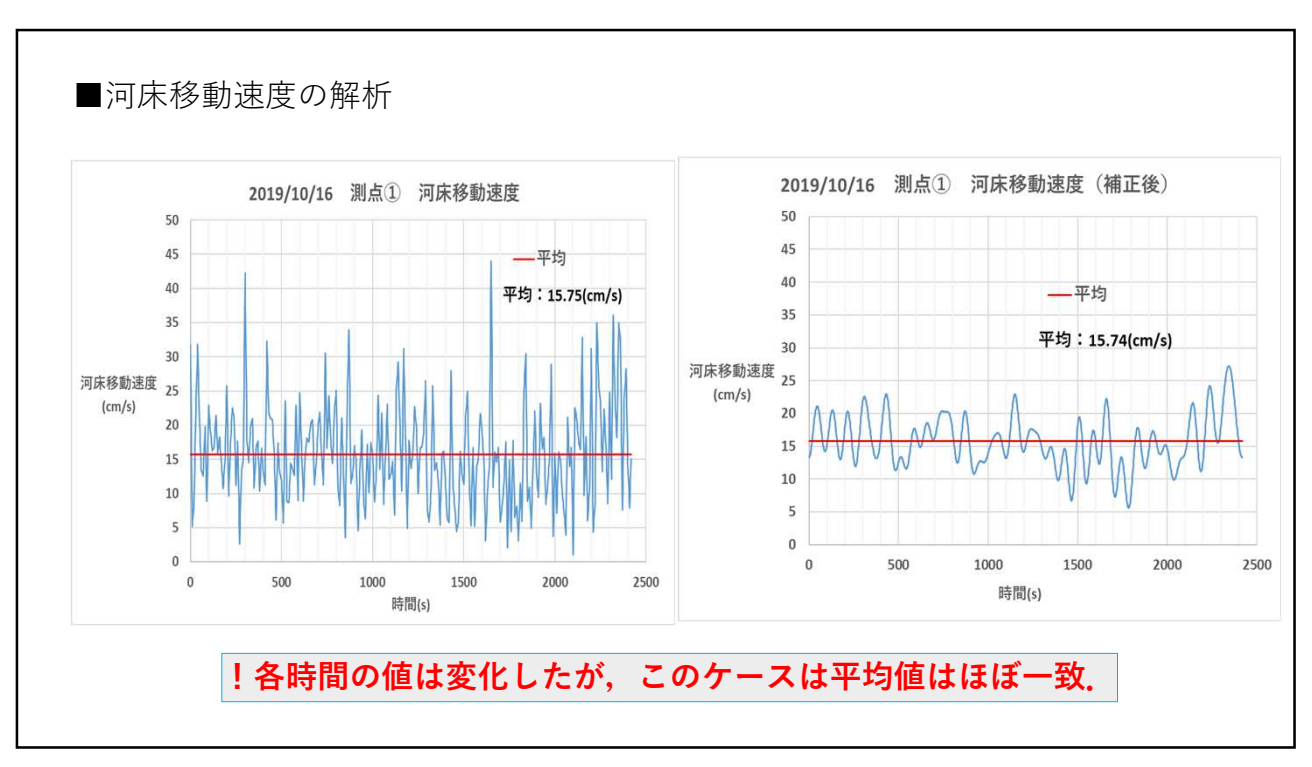
g: 重力加速度







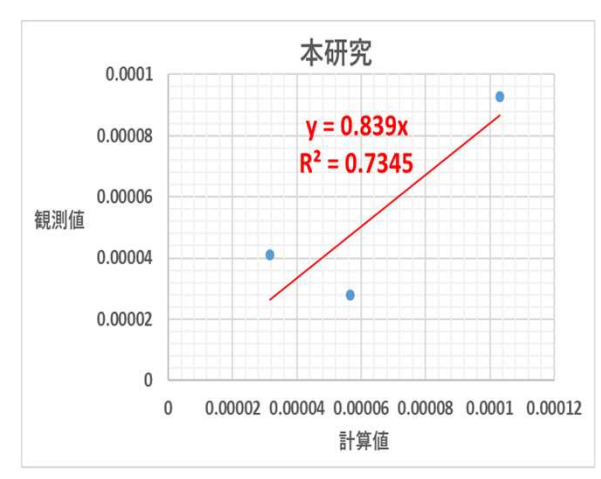


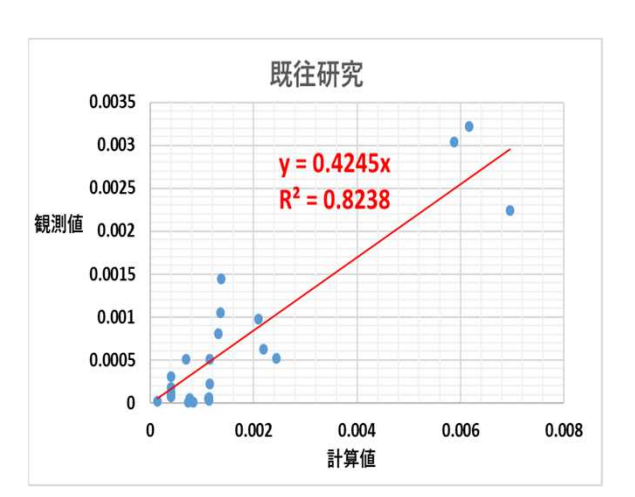


周波数解析結果	:	surging

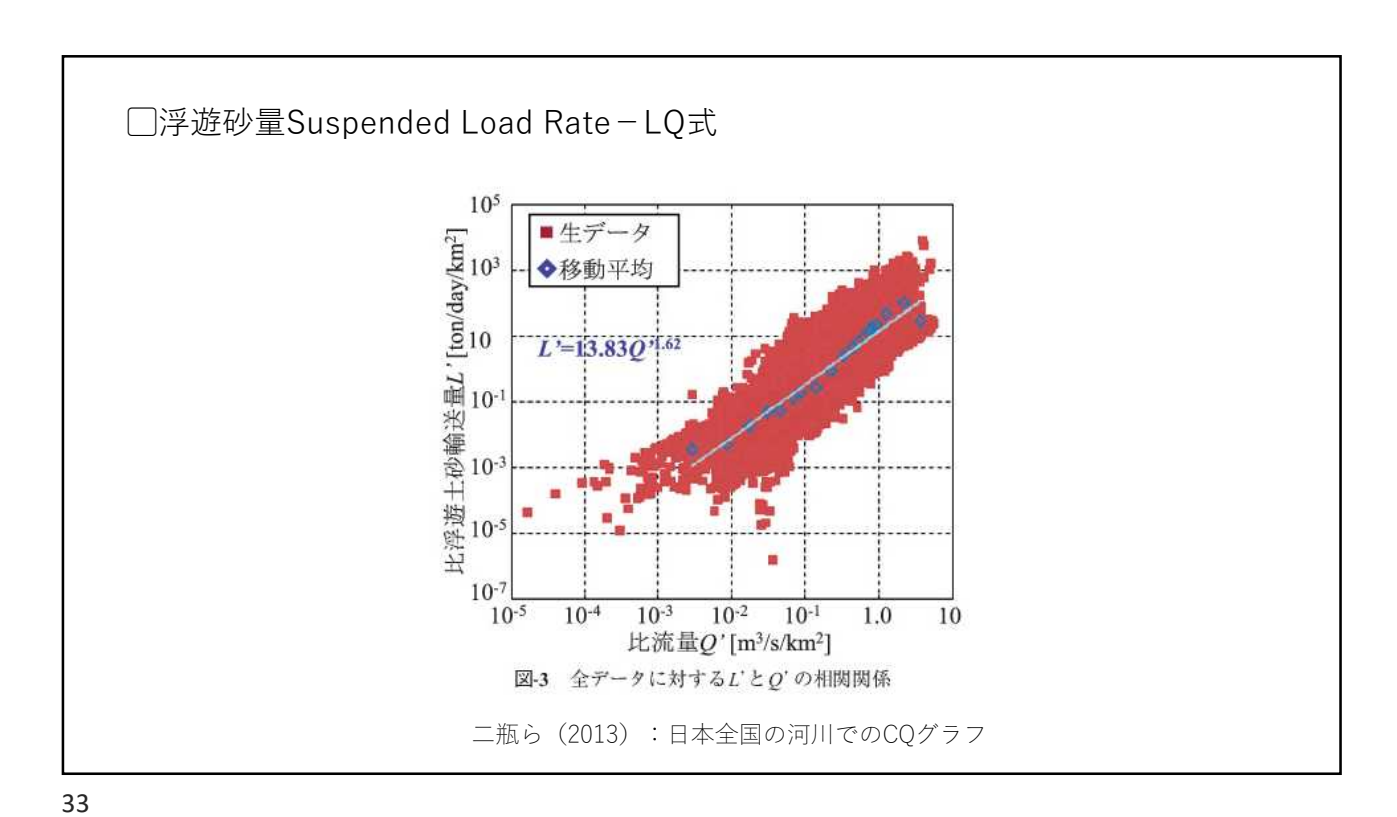
	卓越周期(s)				
	8/20 測線①	10/14 測線②	10/16 測線①		
	161.03	292.4	302.11		
   河床移動速度	117.1	64.1	142.25		
門外份到还反	37.88		80.65		
	4.15				
	645.16	292.4	606.06		
   底面流速	171.82	204.92	302.11		
四/00	117.1	81.97	58.82		
	_	58.48	_		
	39.01	19.5	68.27		
船体動揺	4.4	_	15.17		
	0.98	_			

# □観測値と計算値の比較(単位幅掃流砂量)

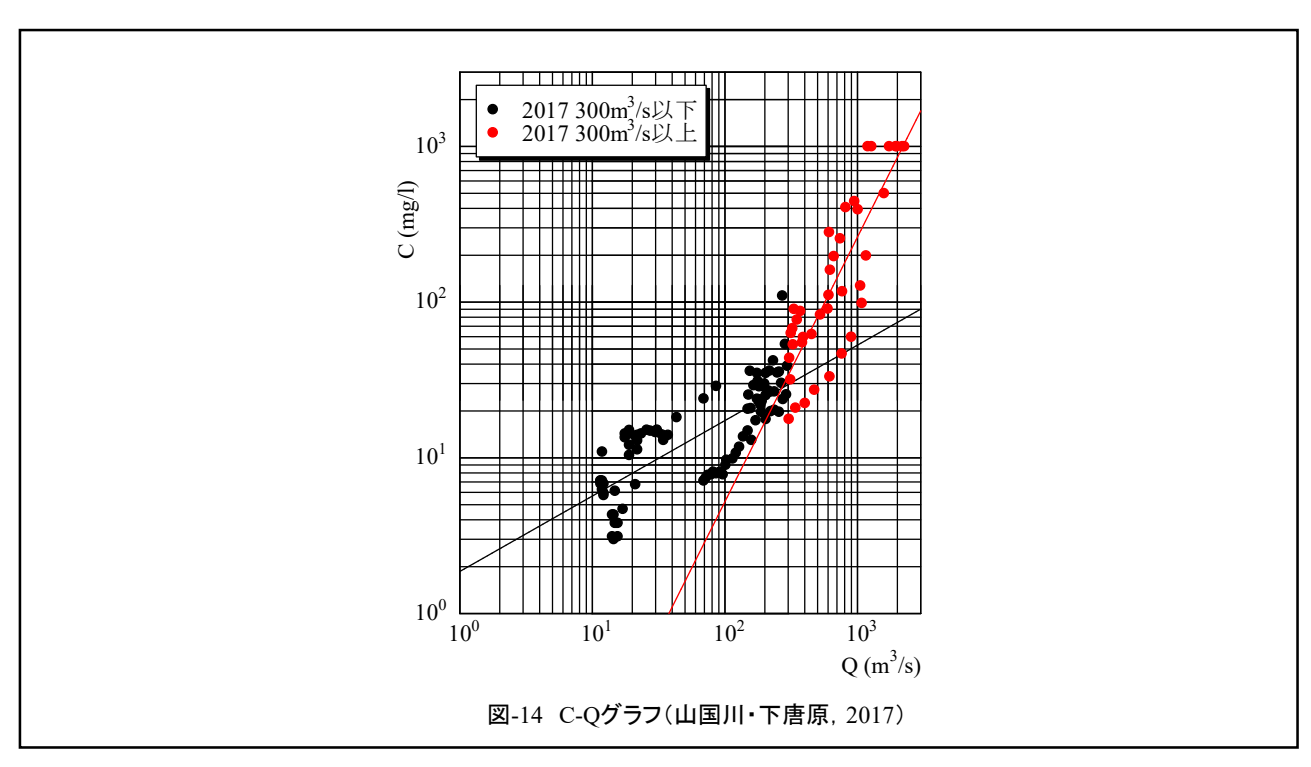


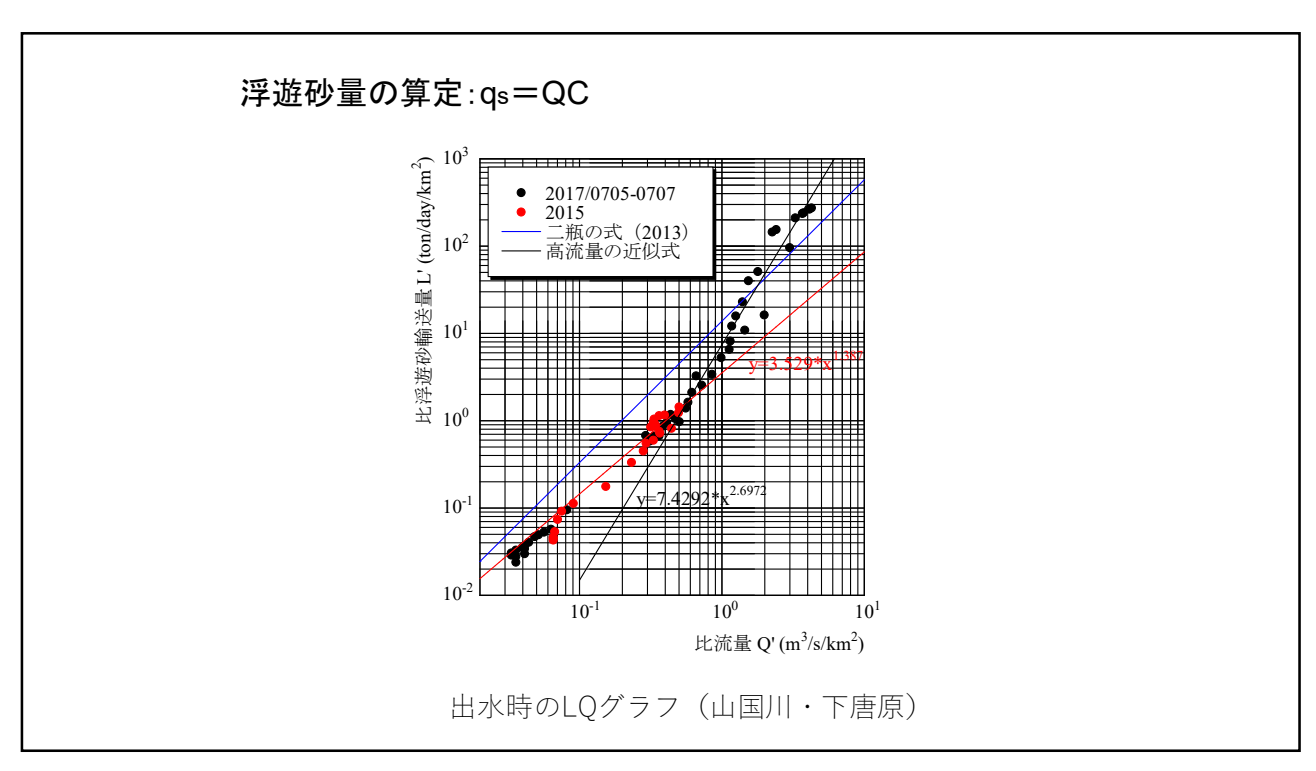


8/20 0:00  $\sim$  8/21 24:00 : 掃流砂量  $q_S = 6.7 \times 10^2$  (m³) 10/12 0:00  $\sim$  10/15 24:00 : 掃流砂量  $q_S = 4.8 \times 10^3$  (m³)

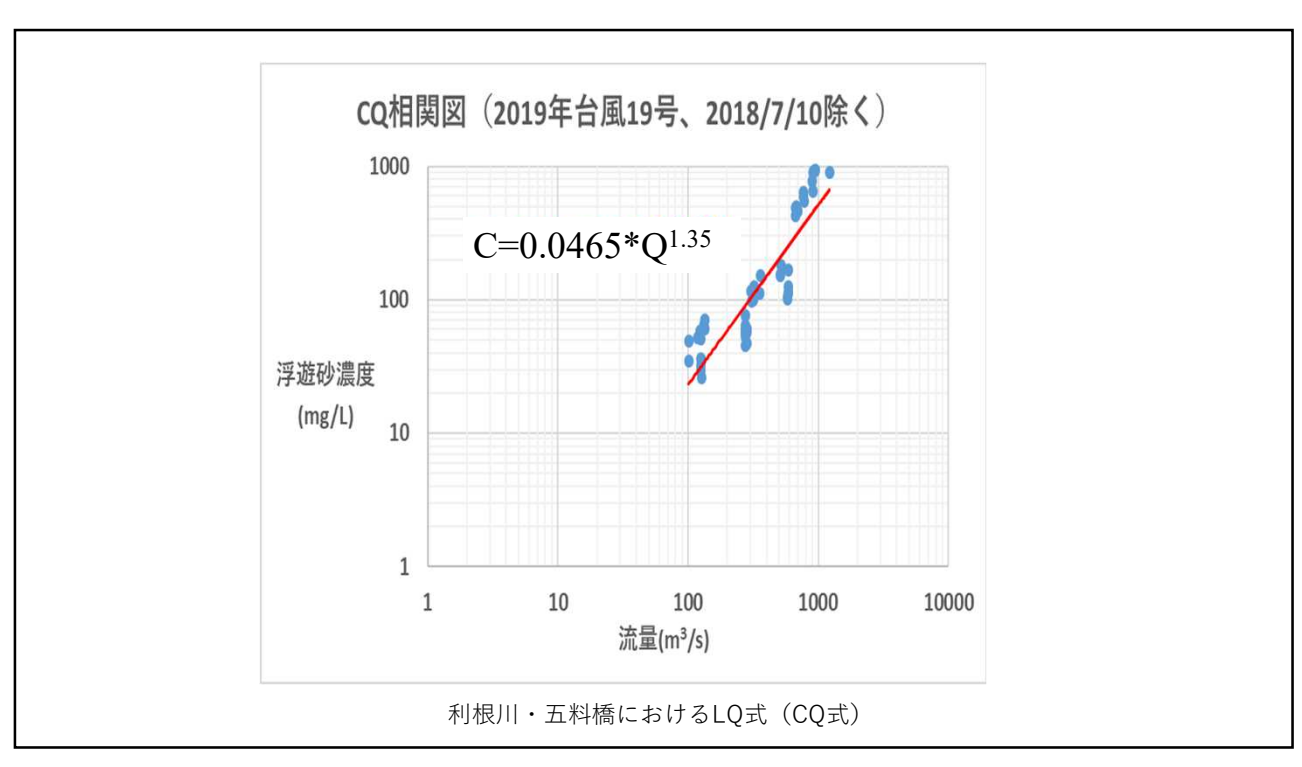


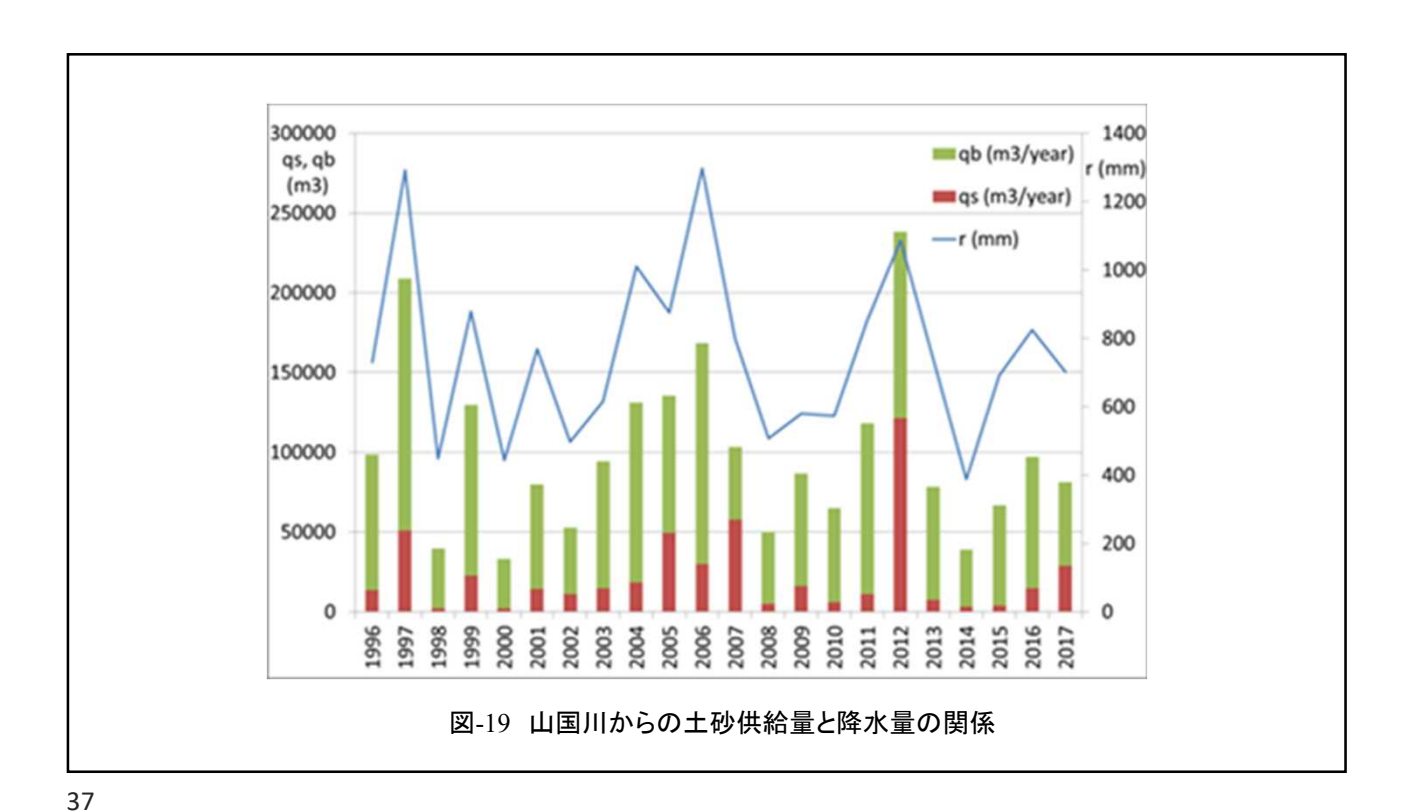












### ■利根川八斗島水位流量観測所の水位標埋没問題

…利根川と烏川・神流川の合流点にある明治16年からの観測所,

カスリーン台風の流量実測,

平成23年のT1112, 13によって左岸水位標が埋没

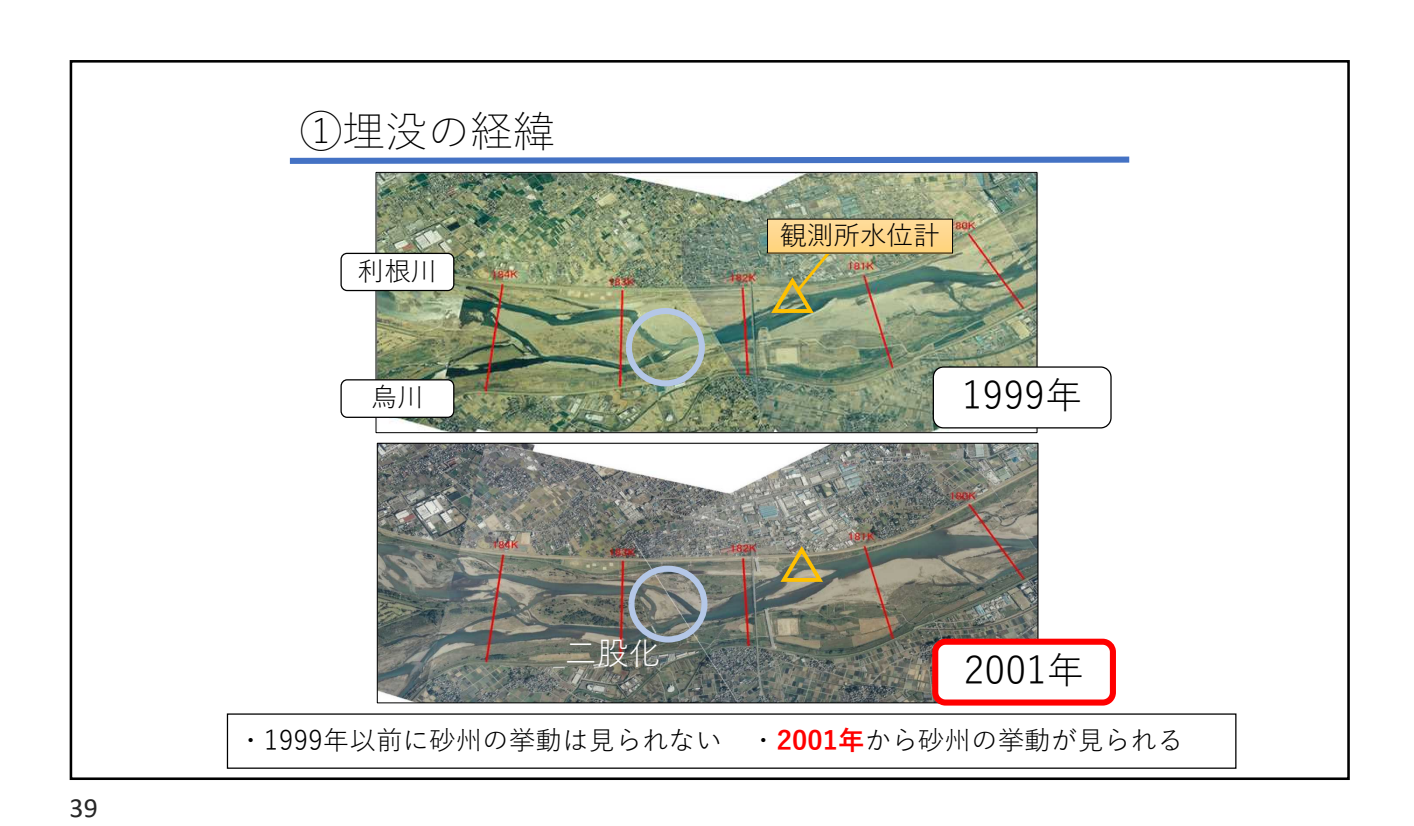
#### 【流量・土砂量観測】

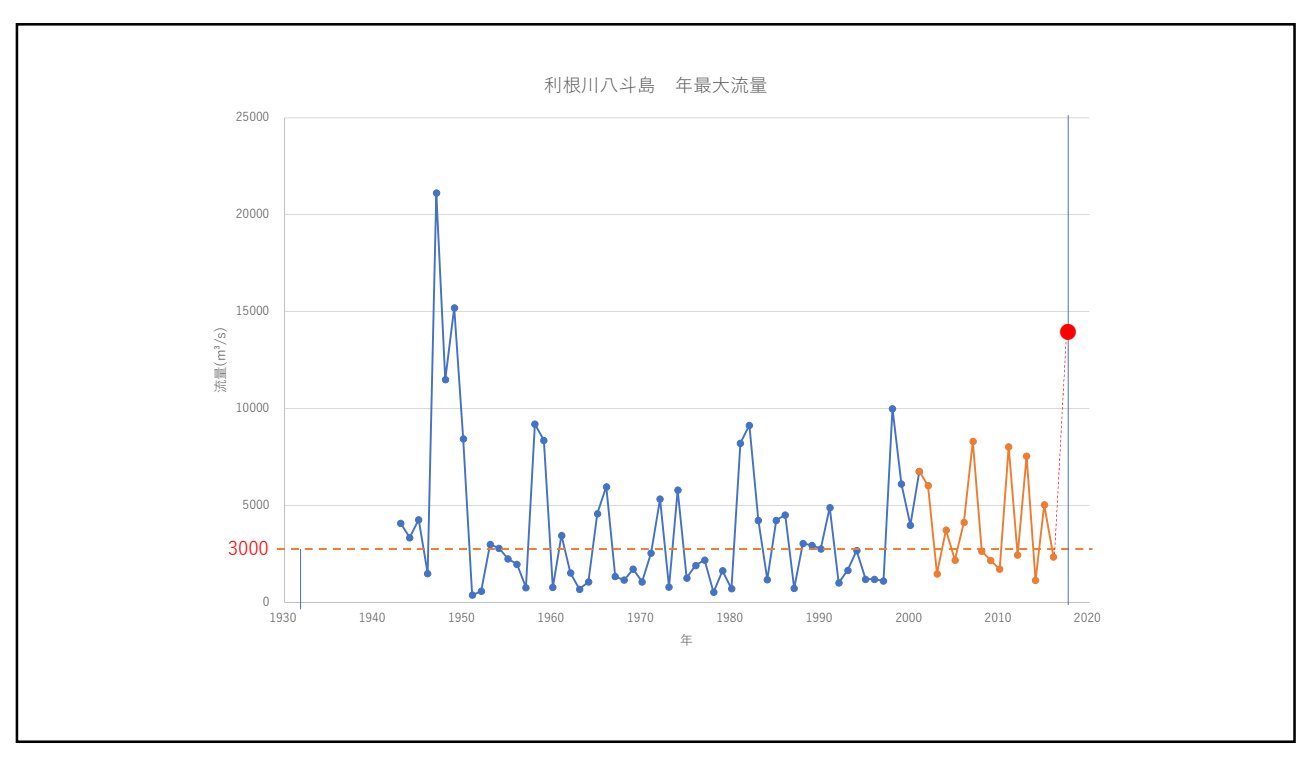
- ・坂東大橋:中大・東大(・新潟大),国交省
- 五料橋(合流点上流・利根川本川):群大
- ➡差分で烏川・神流川の流量・土砂量算定

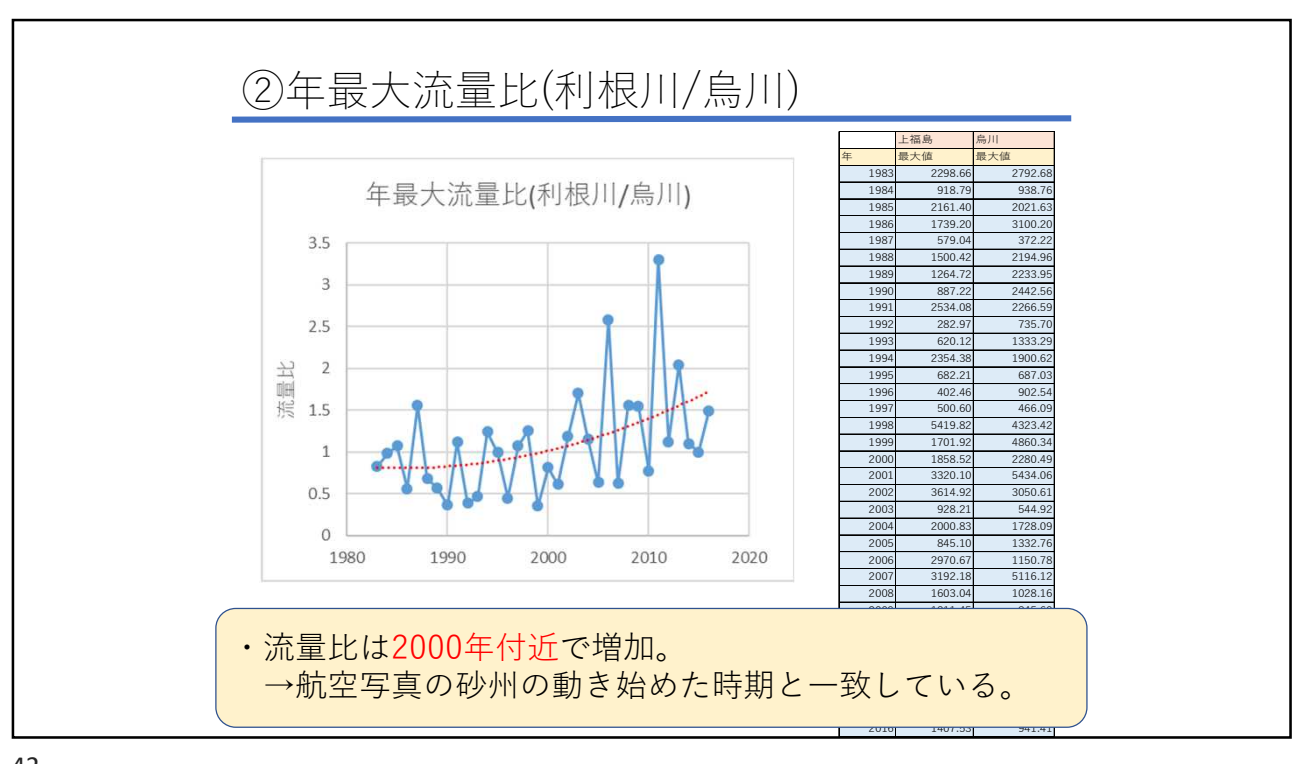


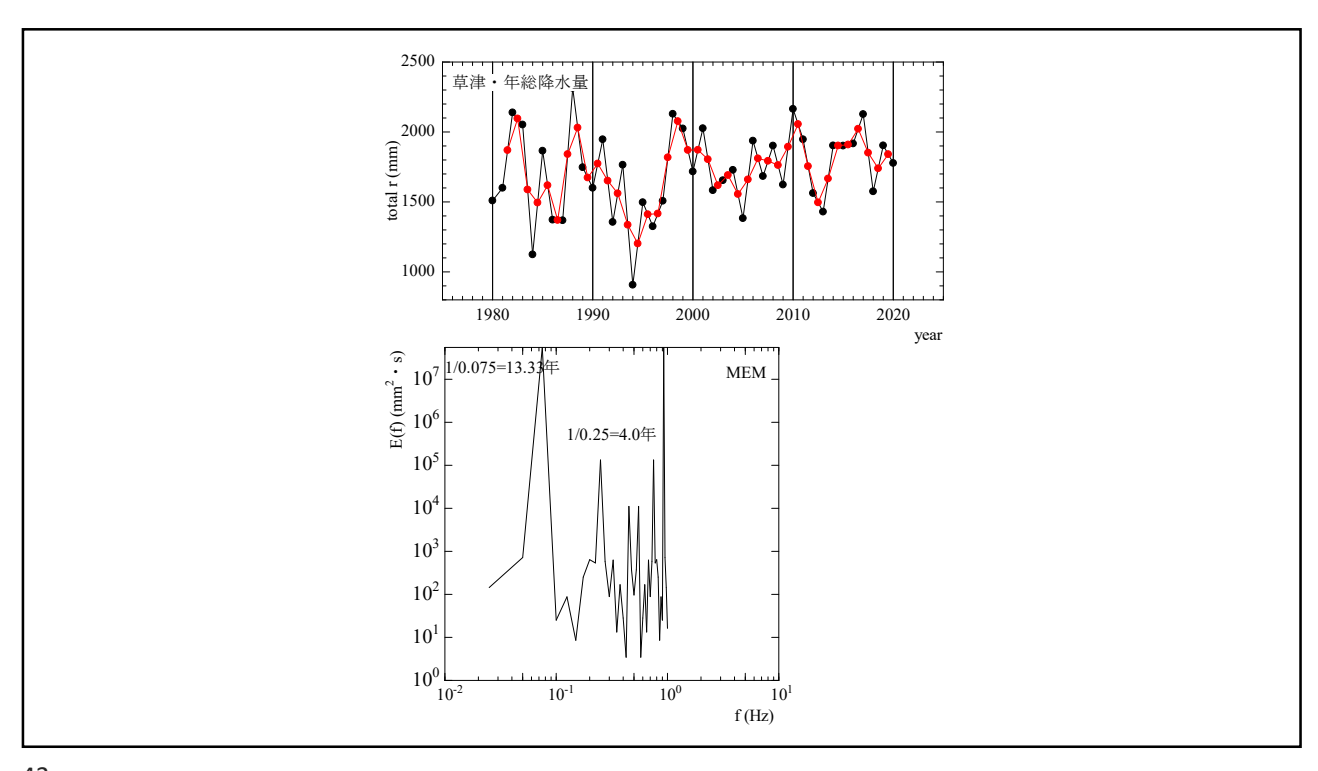
八斗島周辺部 (Google Mapより引用)

⇒実測データと簡易モデルを用いた河川の土砂量算定モデル:gRSM(Gunma university River Sediment transport Model)の構築

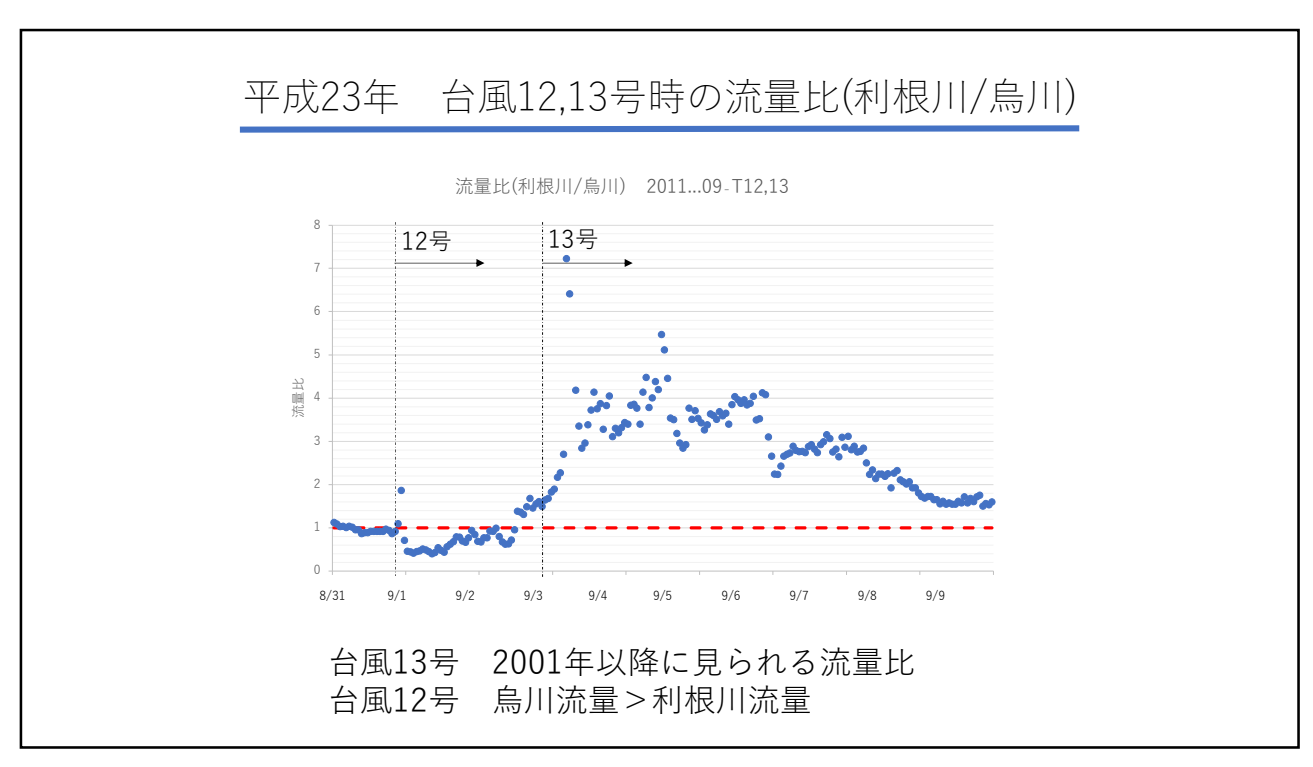












# 2017年出水による中津干潟の泥質化についての再現計算 WDM-POM

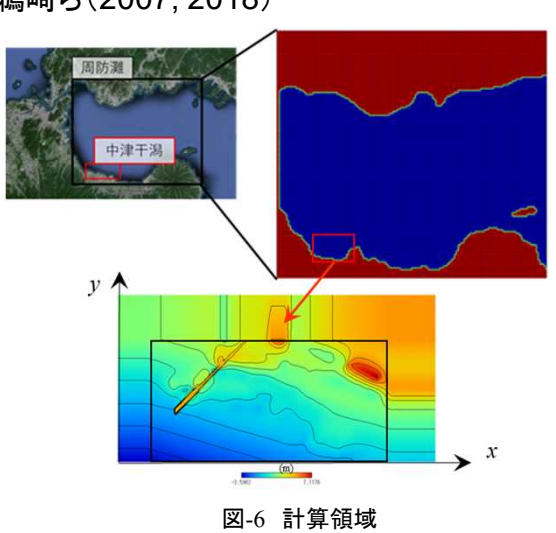
45

#### ■山国川と中津干潟の土砂動態についての数値計算

潮汐と風波を考慮した泥と砂による広域土砂動態・海浜変形モデル **WDM-POM**: Uchiyama(2005), 鵜崎ら(2007, 2018)

表-2 計算条件

		大領域	小領域	
メッシュ数	nx	146	216	
<b>ノリノユ奴</b>	ny	131	114	
メッシュサイズ	dx	450	55.66	m
<b>メッフェッ</b> イス	dy	550	45.34	m
時間刻み	dti	1.0	0.1	s
时间刻外	dte	0.1	0.01	s
	計算領域	流れ		
Run 1	大領域	潮流		
Run 2	小領域	潮流		
Run 3	小領域	潮流	海浜流	



**WDM-POM**: Wet and Drying Morphodynamic POM 潮汐と風波を考慮した泥と砂による広域土砂動態・海浜変形モデル Uchiyama(2005), 鵜崎ら(2007, 2018)

■潮流+吹送流:POM=Princeton Ocean Model =NS方程式+連続式

■風波:Energy平衡方程式

→海浜流: Radiation Stress Model

■泥の輸送:移流拡散方程式, 底面境界条件: Krone/Partheniades Model, 沈降速度: Burban Model

■砂の輸送:Bailard Model

■地形変化:土砂収支式

■河川からの土砂供給Model:gRSM

■干出・冠水Scheme, □極浅海域における拡張対数則

$$i = \rho s' g(1 - \lambda) q$$

$$= \rho C_f \frac{\varepsilon_B}{\tan \phi} \left[ u(t) \mid u(t) \mid^2 - \frac{\tan \beta}{\tan \phi} \mid u(t) \mid^3 \right]$$

$$+ \rho C_f \frac{\varepsilon_s}{w_0} \left[ u(t) \mid u(t) \mid^3 - \frac{\varepsilon_s}{w_0} \tan \beta \mid u(t) \mid^5 \right]$$
(2.2.25)

Bailardモデル

$$\frac{\partial(v_x S)}{\partial x} + \frac{\partial(v_y S)}{\partial y} + \frac{\partial(v_\theta S)}{\partial \theta} = -\varepsilon_b S \qquad (5.4.15)$$

ここで、S は波の方向スペクトル、(x,y) は水平座標、 $\theta$  はx 軸から反時計回りに測った波向角、 $\varepsilon_b$  はエネルギー減衰係数であり、特性速度  $(v_x,v_y,v_\theta)$  は

$$(v_x, v_y, v_\theta) = \begin{cases} C_g \cos \theta, C_g \sin \theta, \\ \frac{C_g}{C} \left( \sin \theta \frac{\partial C}{\partial x} - \cos \theta \frac{\partial C}{\partial y} \right) \end{cases}$$
(5.4.16)

# +回折項

49

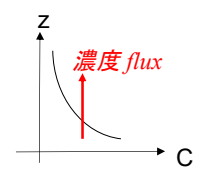
移流拡散方程式 =濃度fluxの収支式

$$\frac{\partial \overline{C}}{\partial t} + u \frac{\partial C}{\partial x} + v \frac{\partial C}{\partial y} + w \frac{\partial C}{\partial x}$$

$$= \frac{\partial}{\partial x} \left( (D_x + K_x) \frac{\partial C}{\partial x} \right) + \frac{\partial}{\partial y} \left( (D_y + K_y) \frac{\partial C}{\partial y} \right) + \frac{\partial}{\partial z} \left( (D_z + K_z) \frac{\partial C}{\partial z} \right)$$

D:分子拡散係数, K:乱流拡散係数 w=w-wg:沈降速度

- •(分子)拡散現象=濃度勾配による変化
- ・乱流拡散=流れ場の乱れによる濃度変化
- ・移流=平均流速による輸送



#### 泥の沈降速度モデル: Burban et al.(1990)の実験式

 $W_S = lpha (CG)^eta$  ~凝集性土砂 cohesive sediment

$$G = \rho K_M \left[ \left( \frac{\partial U}{\partial \mathbf{z}} \right)^2 + \left( \frac{\partial V}{\partial \mathbf{z}} \right)^2 \right]^{1/2}$$

砂の沈降速度式: Rubeyの実験式(1933) cf. Stokesの法則

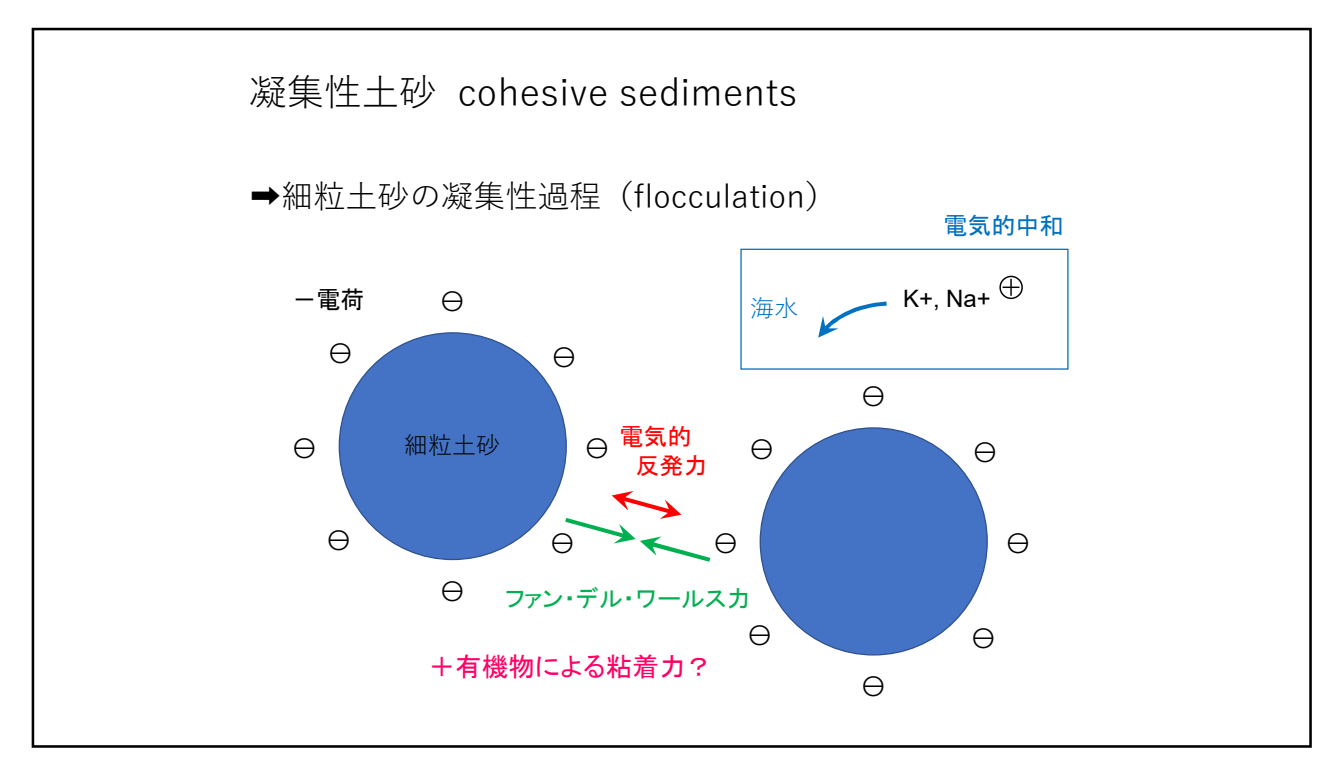
$$\frac{w_f}{\sqrt{sgd}} = \sqrt{\frac{2}{3} + \frac{36v^2}{sgd^3}} - \sqrt{\frac{36v^2}{sgd^3}}$$
 (4.6)

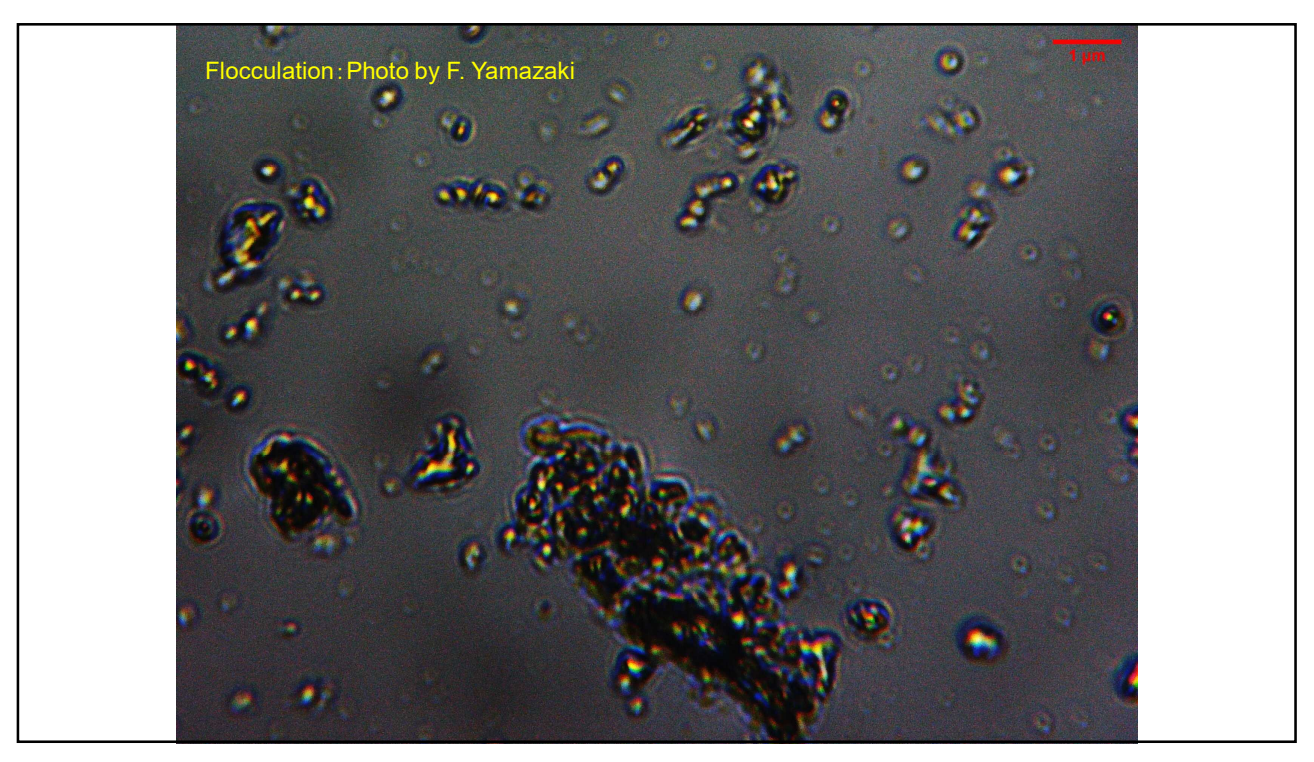
ただし、v:水の動粘性係数(≒0.01cm²/s)

s:砂粒の水中比重(砂の標準値 1.65)

d:砂粒の粒径(cm)

g: 重力加速度(980cm/s²)





#### Winterwerp,2002

$$w_{\rm s,r} = \frac{(\rho_{\rm s} - \rho_{\rm w})gD^2}{18\mu}.$$
 (5)

$$w_{\rm s,r} = \frac{\alpha}{18\beta} \frac{(\rho_{\rm s} - \rho_{\rm w})g}{\mu} D_{\rm p}^{3-n_{\rm f}} \frac{D^{n_{\rm f}-1}}{1 + 0.15 Re_{\rm p}^{0.687}}, \qquad (4)$$

$$w_{\rm s} = w_{\rm s,r} \frac{(1 - \phi_{\rm *})(1 - \phi_{\rm p})}{1 + 2.5\phi},$$
 (6)

$$\phi = \left(\frac{\rho_{\rm s} - \rho_{\rm w}}{\rho_{\rm f} - \rho_{\rm w}}\right) \frac{c}{\rho_{\rm s}} = \frac{c}{\rho_{\rm s}} \left[\frac{D}{D_{\rm p}}\right]^{3-n_{\rm f}} = f_{\rm s} N D^3$$

 $w_{s,r}$ はStokes式から求められる粒子単体での 沈降速度, $\varphi=(\rho_s-\rho_w)/(\rho_f-\rho_w)c/\rho_s$ , $\varphi_*=\min(1,\varphi)$ , $\varphi_p=c/\rho_s$ ,: いずれも体積濃度, $\rho_s,\rho_w,\rho_f$ : 粒子密度,水の密度,フロックの密度, $\mu$ : 分子粘性係数, $\mathbf{D}$ : フロック

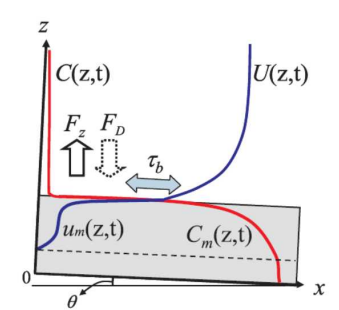


図-4 底泥界面近傍での密度 (濃度) 分布と輸送過程

$$\frac{\partial N}{\partial t} + \frac{\partial}{\partial x_i} \left( \left( u_i - \delta_{i,3} \frac{(1 - \phi_*)(1 - \phi_p)}{(1 + 2.5\phi)} w_{s,r} \right) N \right)$$

$$- \frac{\partial}{\partial x_i} \left( (D_s + \Gamma_T) \frac{\partial N}{\partial x_i} \right)$$

$$= -k_A (1 - \phi_*) GD^3 N^2$$

$$+ k_B G^{s+1} (D - D_p)^p D^{2g} N + E_{b,N}, \qquad (15)$$
in which the parameters  $k_A$  and  $k_B$  are defined as follows (e.g. Winterwerp, 1998):
$$k_A = \frac{2}{2} e_{\nabla} e_{\nabla} d = \text{and}$$

$$k_B = a e_b D_p^{-p} \left( \frac{\mu}{F_y} \right)^q, \qquad 100$$

$$k_B = a e_b D_p^{-p} \left( \frac{\mu}{F_y} \right)^q, \qquad 100$$

$$0.1 \qquad 1 \qquad 100$$

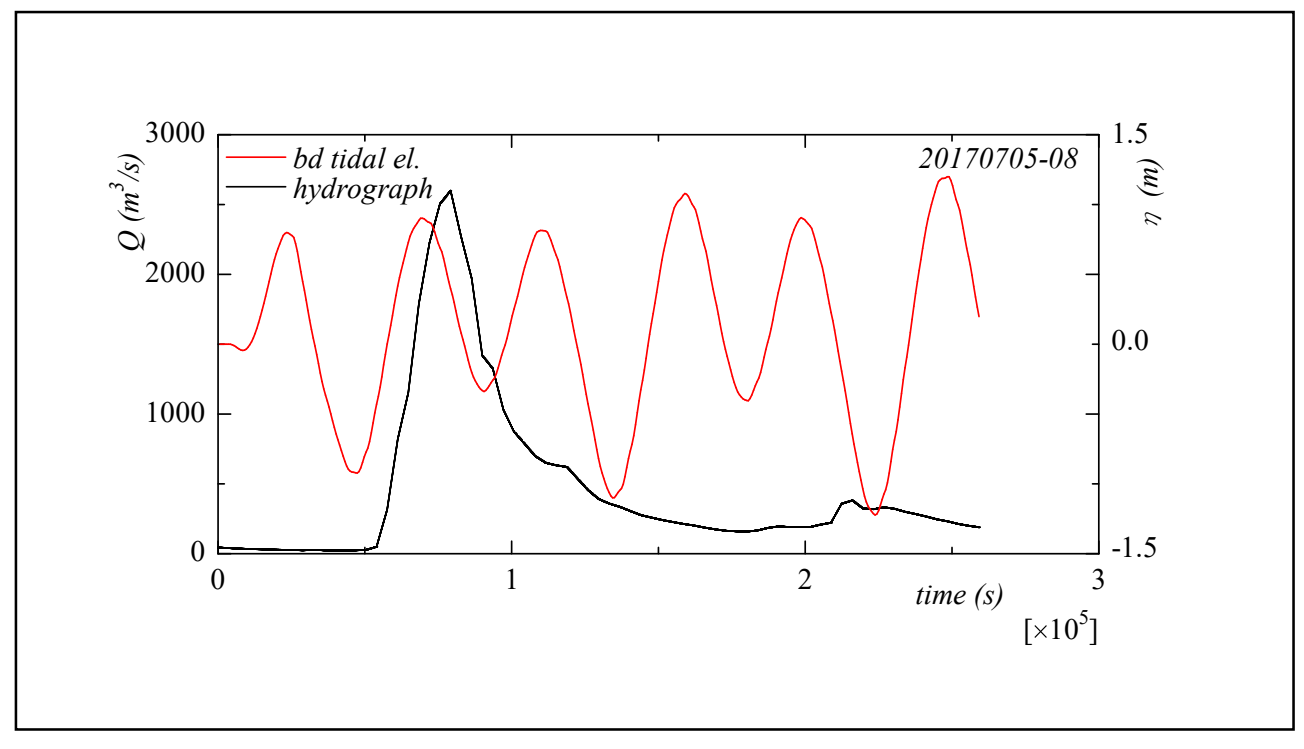
土砂収支式:  $\frac{\partial z}{\partial t} + \frac{1}{1 - \lambda} \left( \frac{\partial q_x}{\partial x} + \frac{\partial q_y}{\partial y} \right) = 0$ control volume  $q_x$   $\lambda : 空隙率$ 

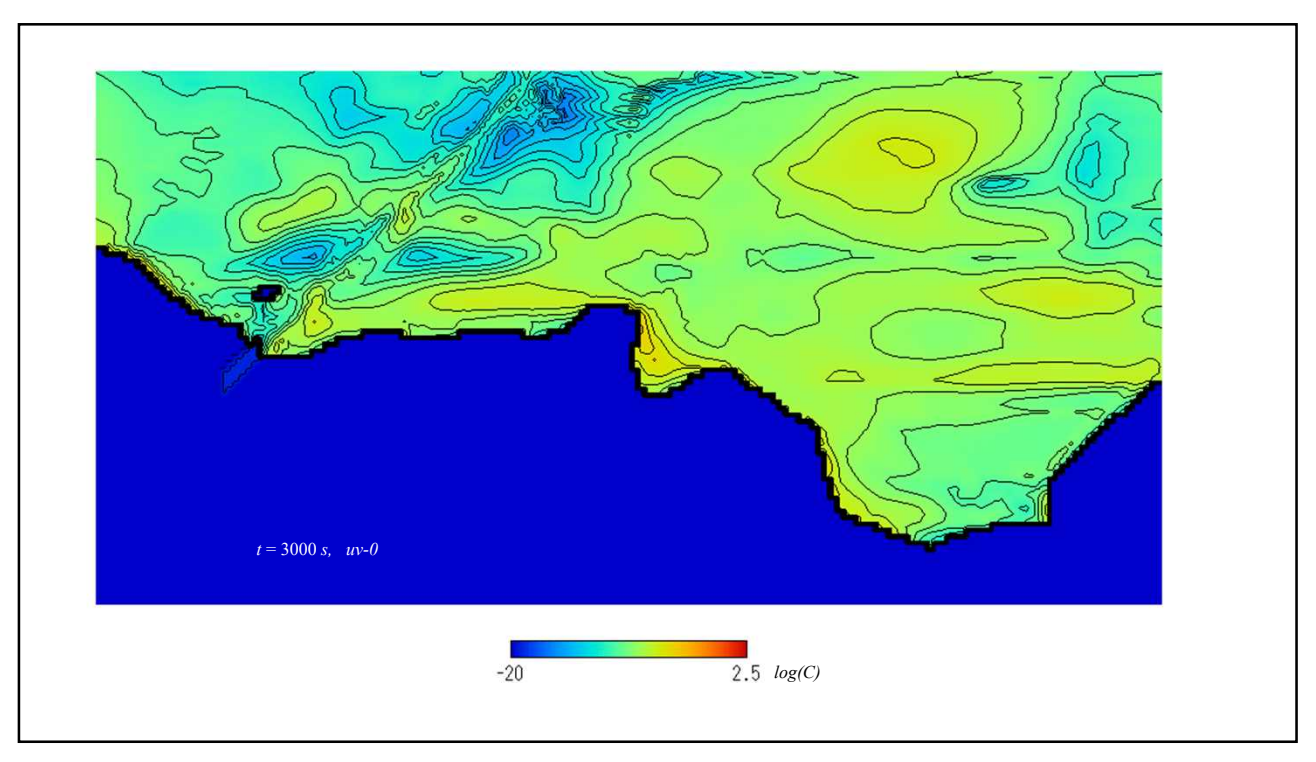
# □gRSMによる河川境界条件の設定

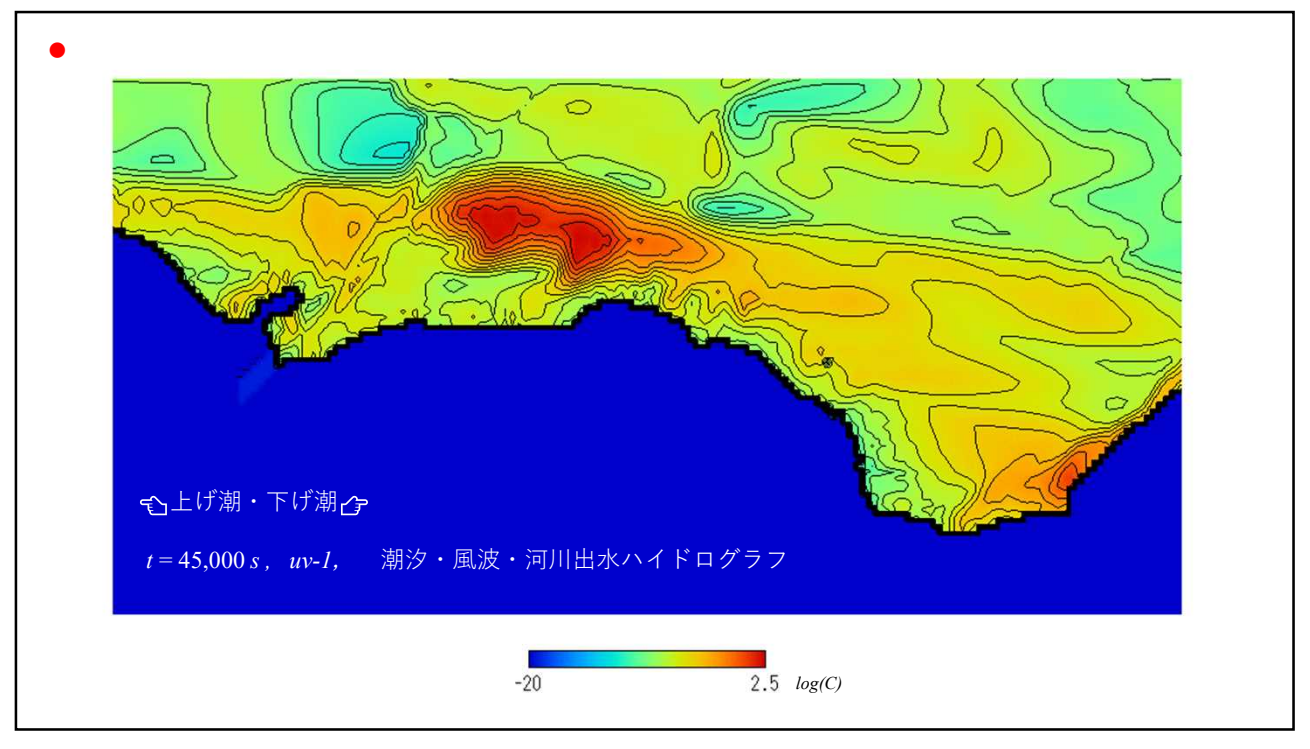
- ・流量
- ⇒河口断面の各メッシュにおける一定流速
- 浮遊泥

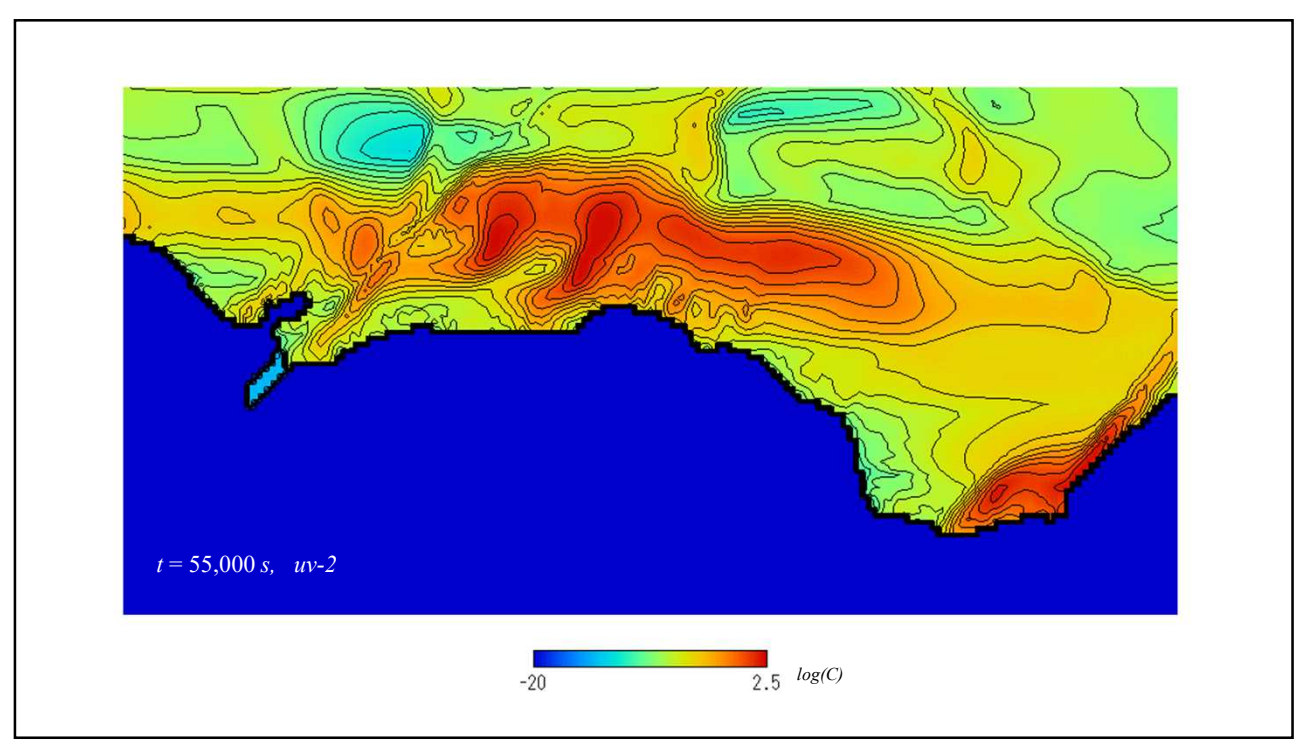
国土交通省流量データ:Q(t)→gRSM→浮遊砂量・掃流砂量

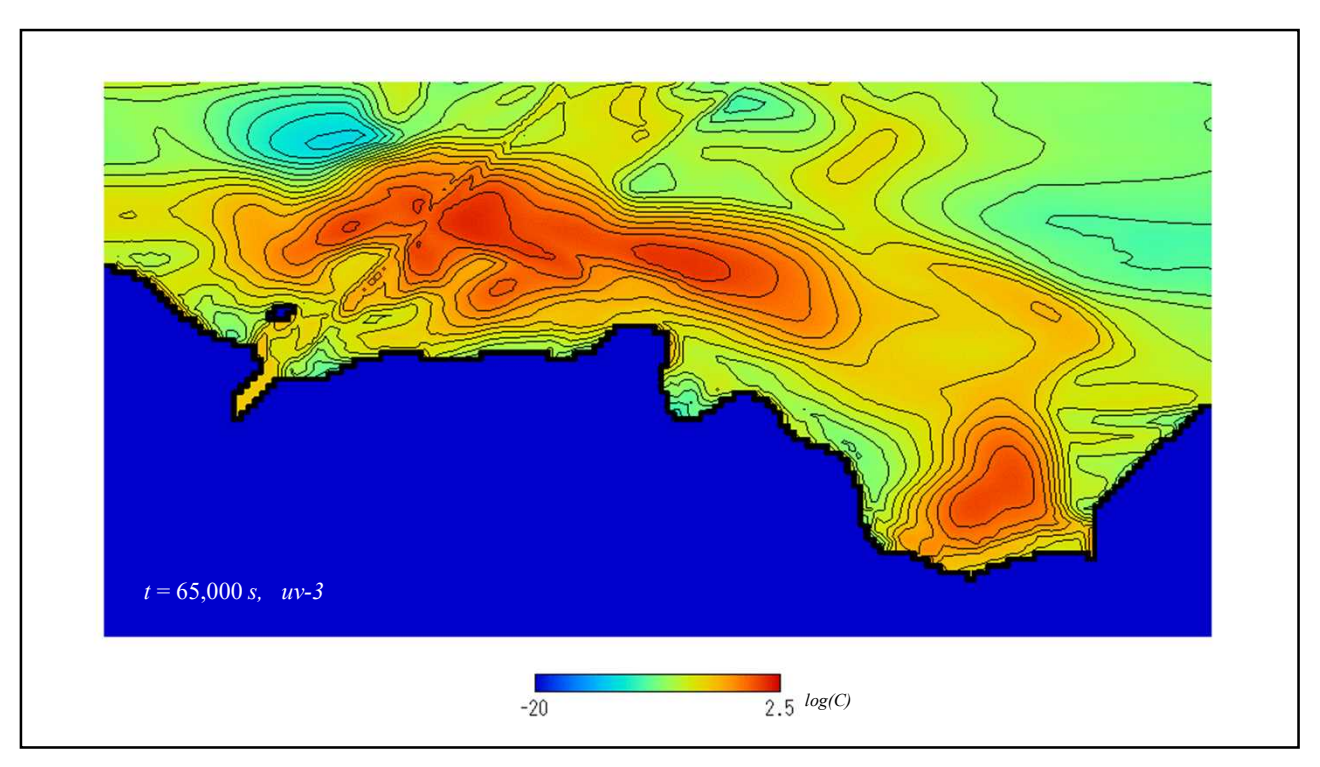
- → (浮遊砂量・掃流砂量) ×含泥率→河川境界における浮遊泥濃度※干潟の底質分析結果
- ・浮遊砂・掃流砂 (未対応)
- →gRSMによる浮遊砂量 泥輸送量,掃流砂量 → Bailard式の $C_f$ ,  $\varepsilon_b$ ,  $\varepsilon_s$ の同定

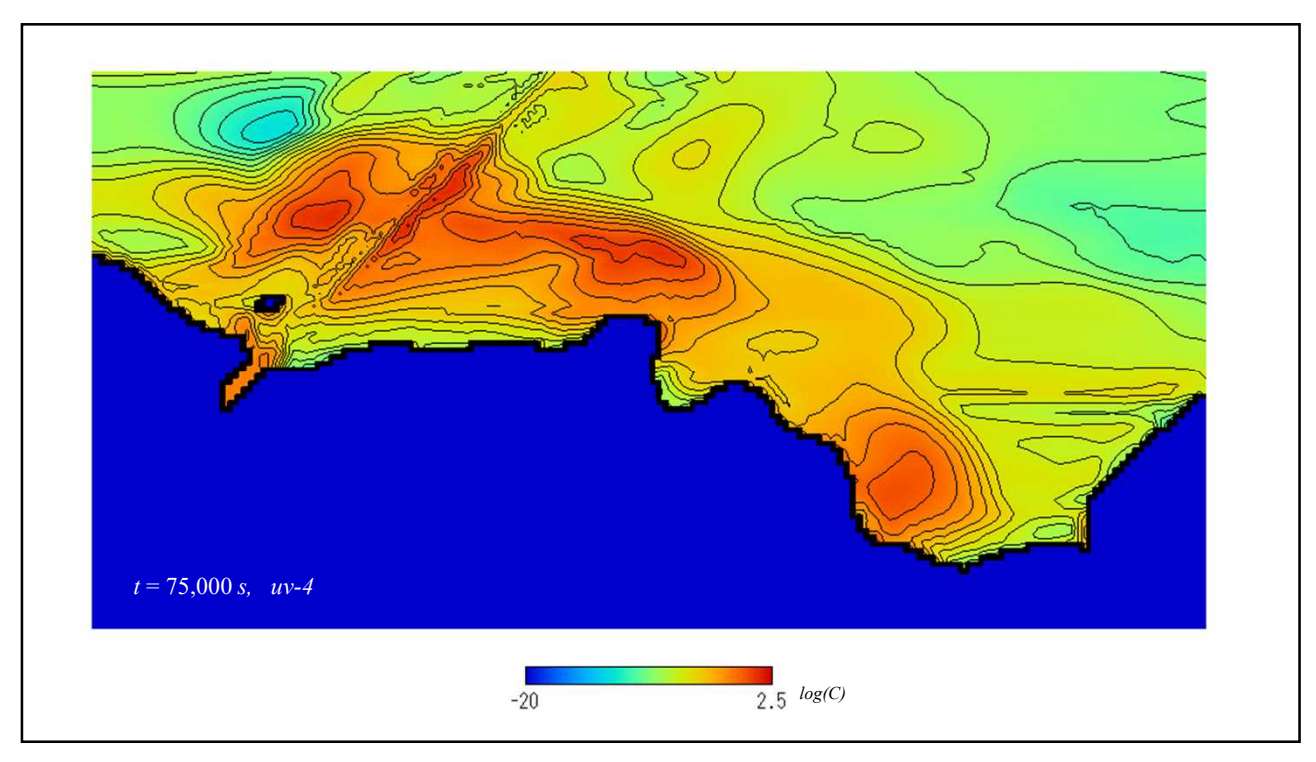


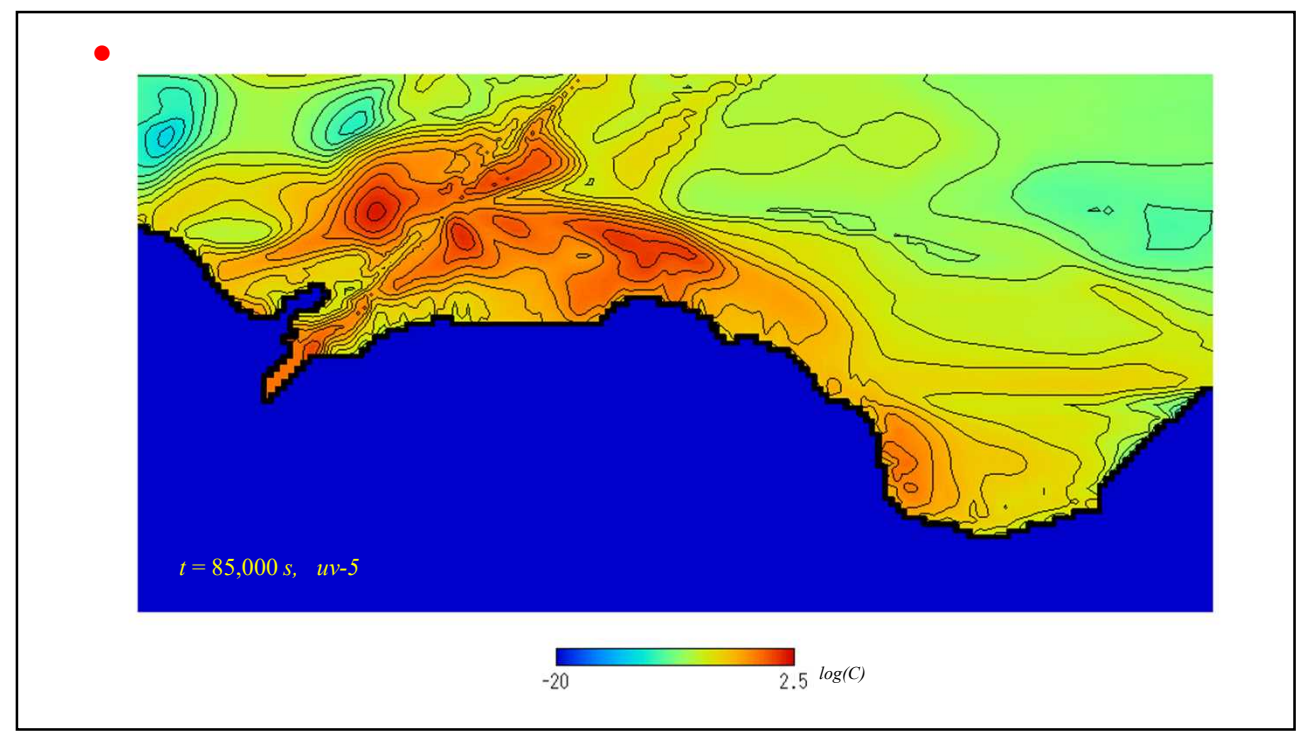


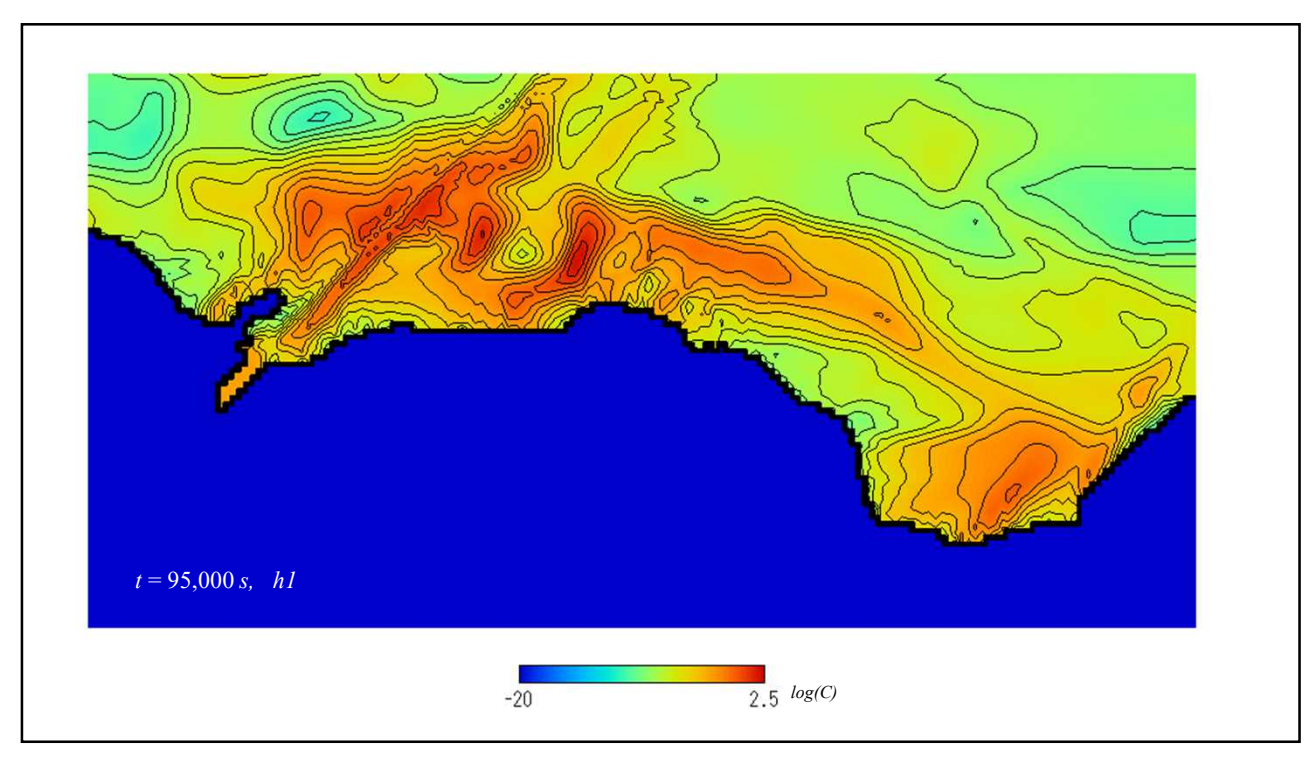


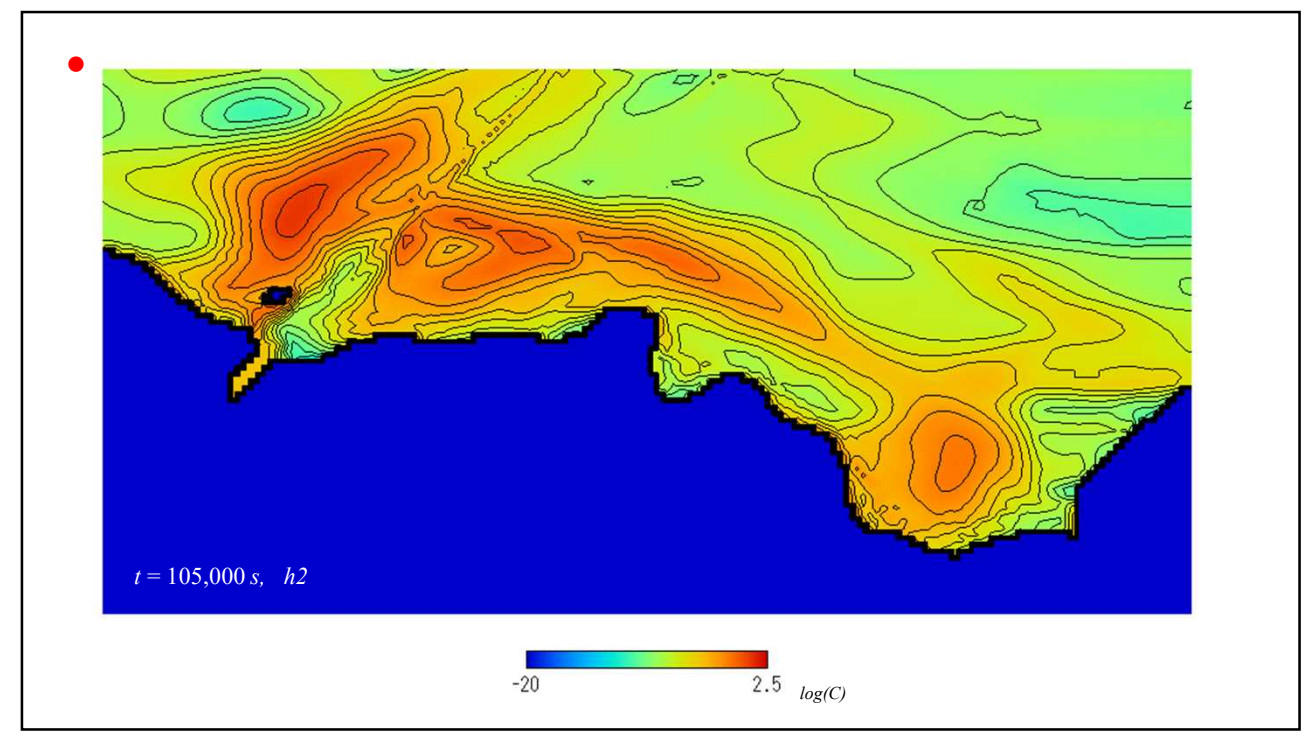


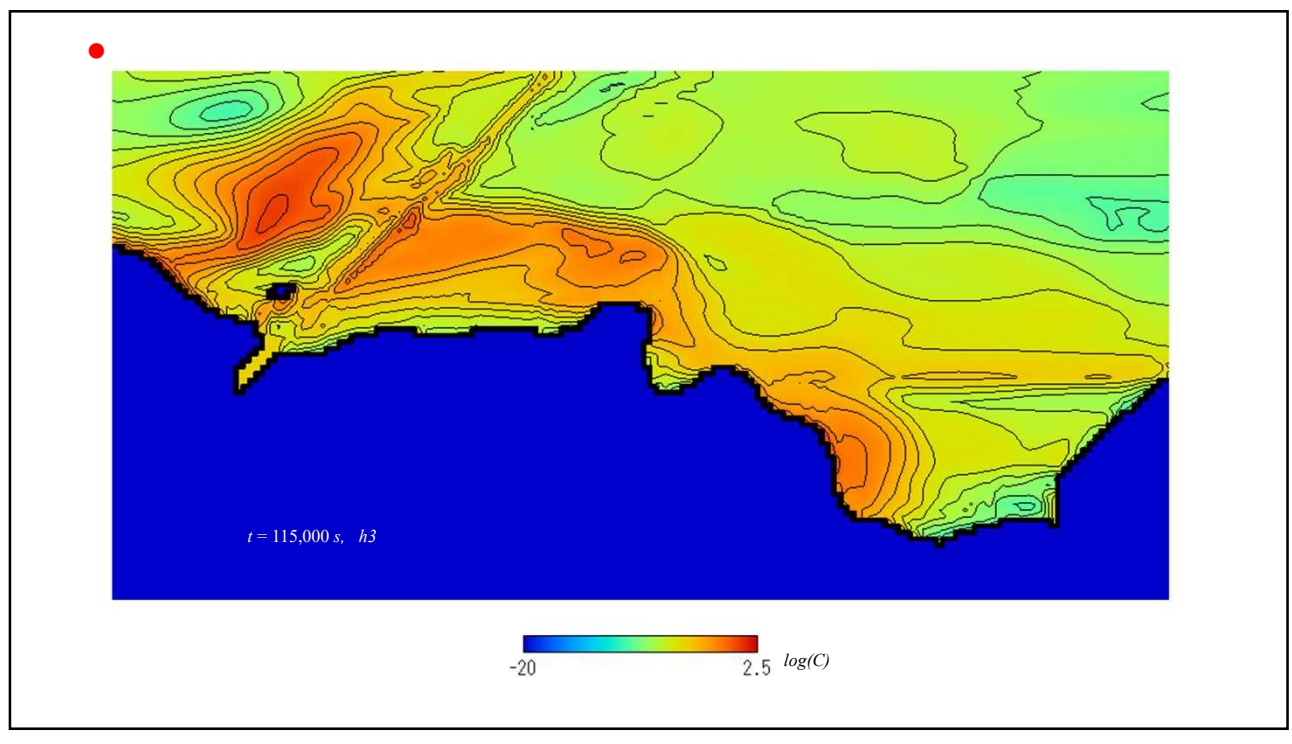


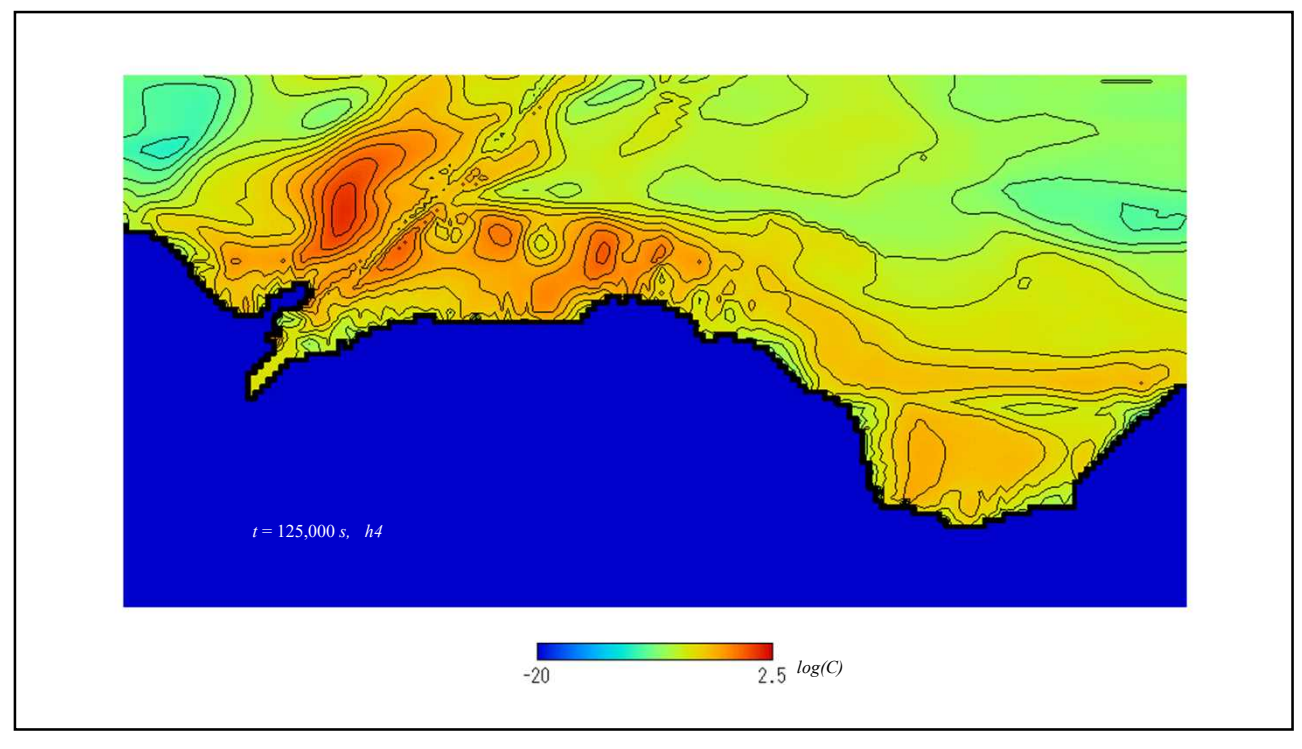


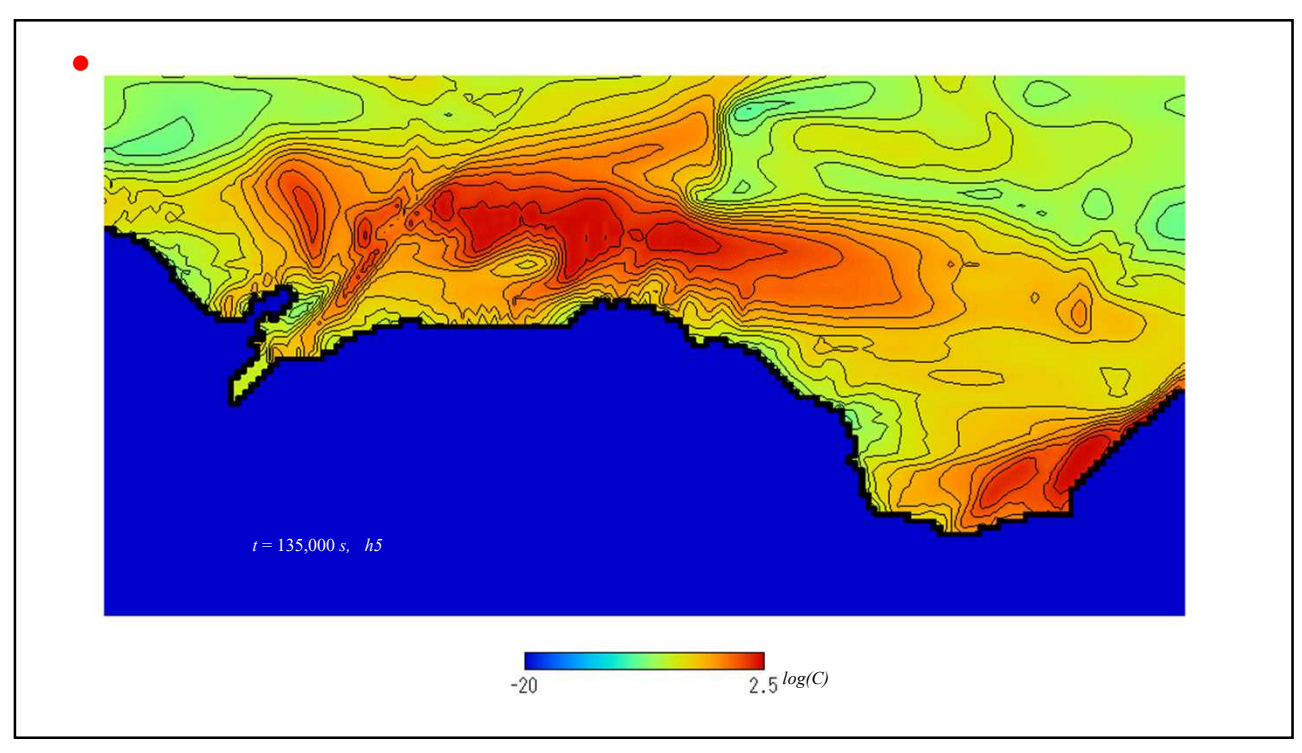


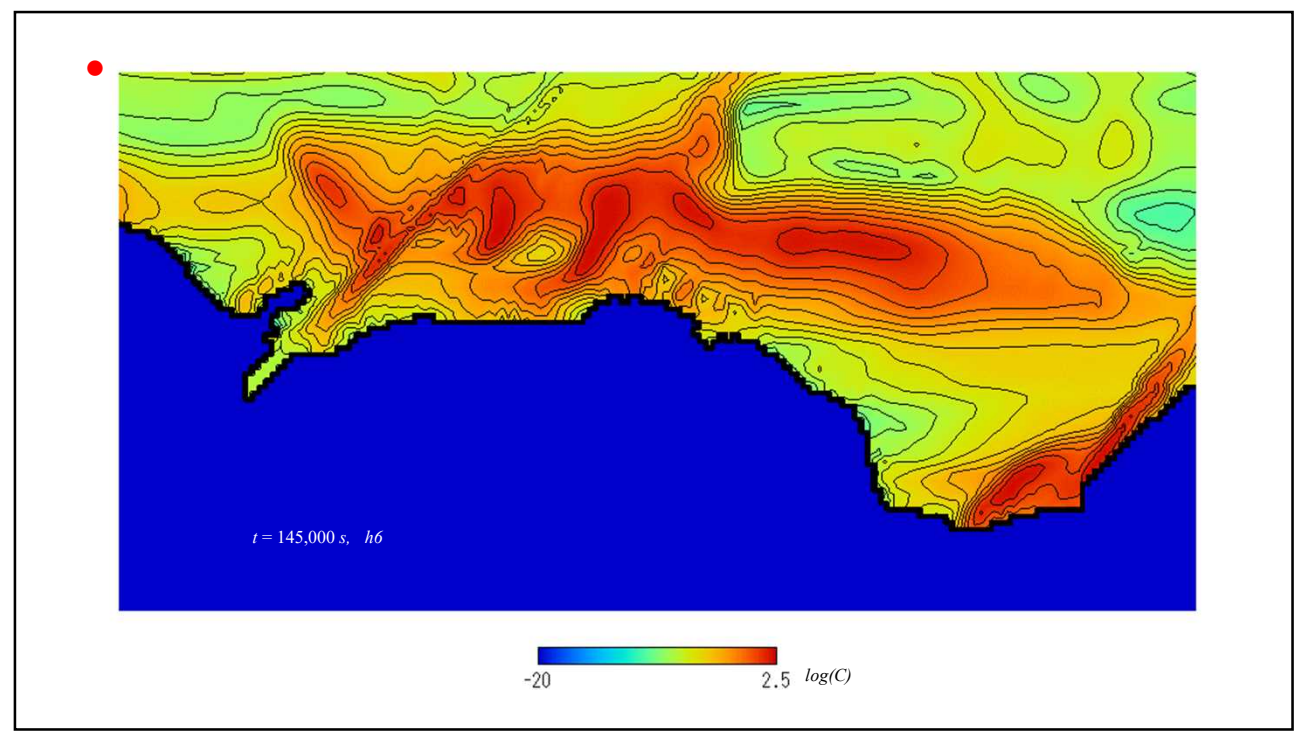


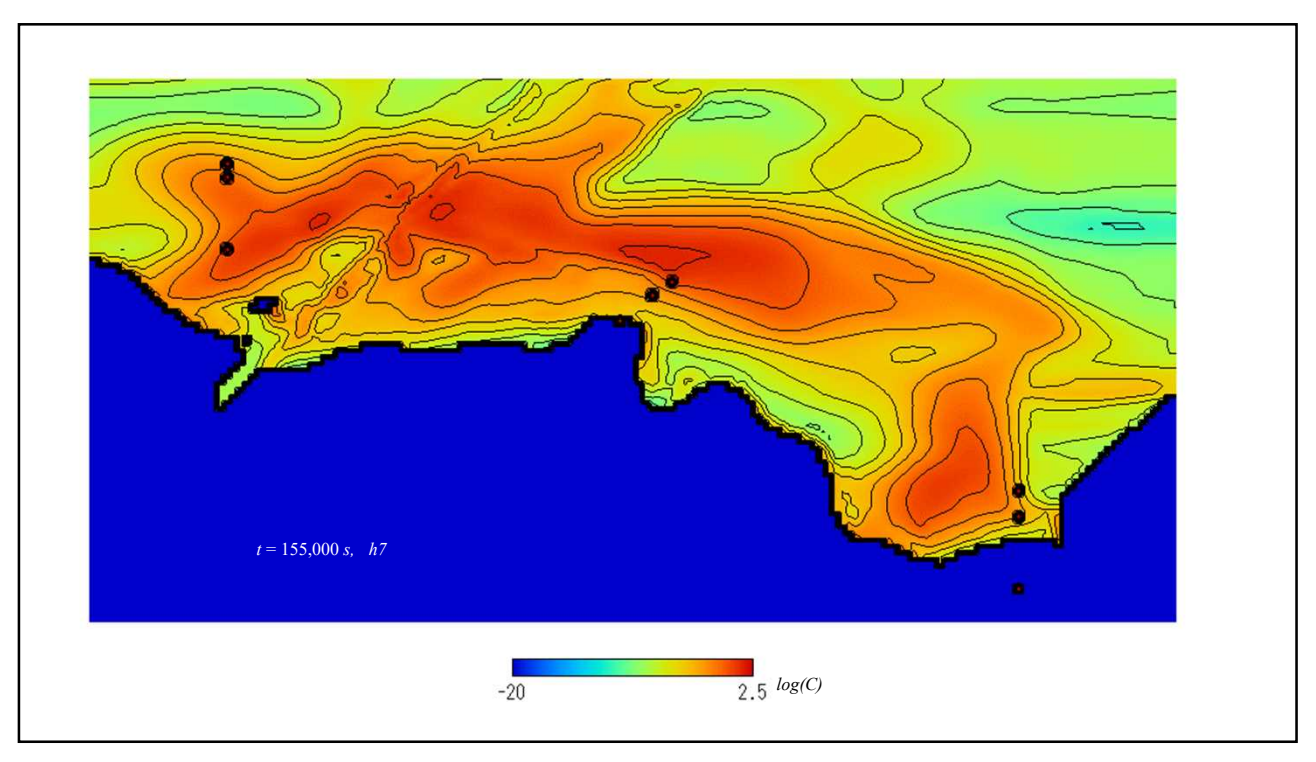


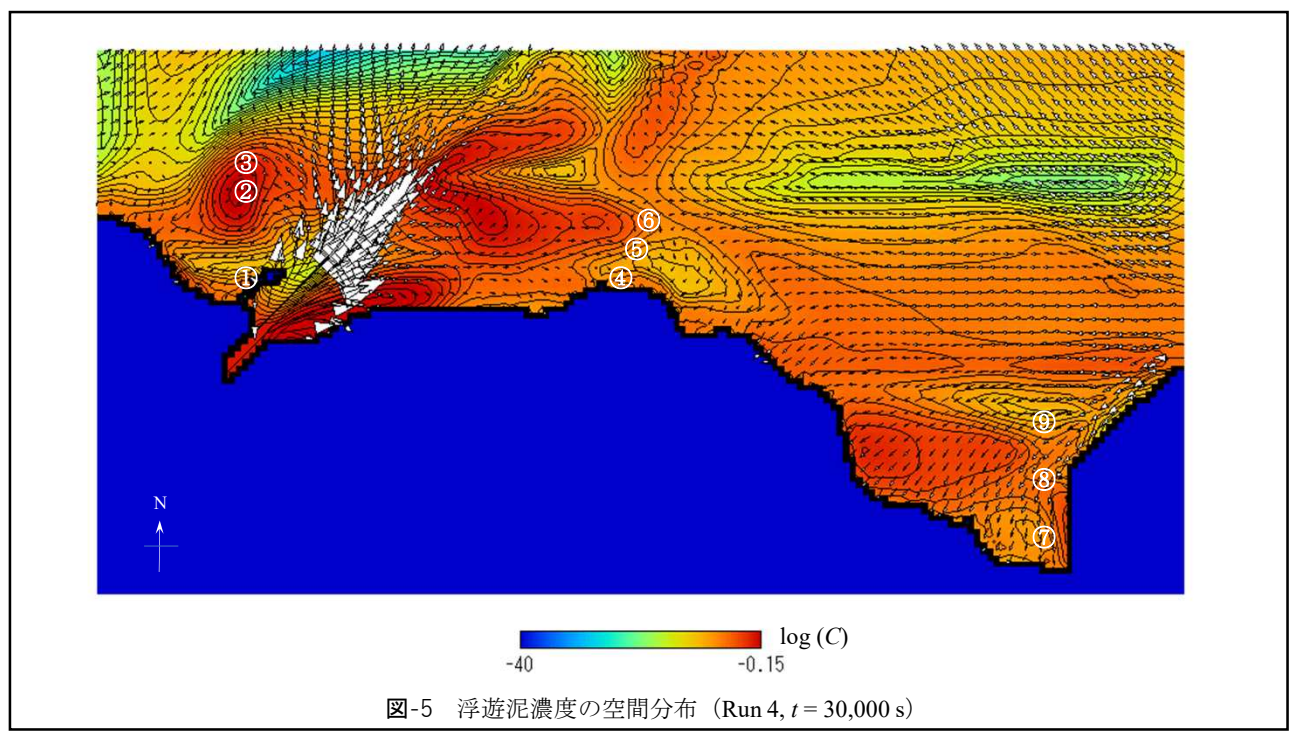












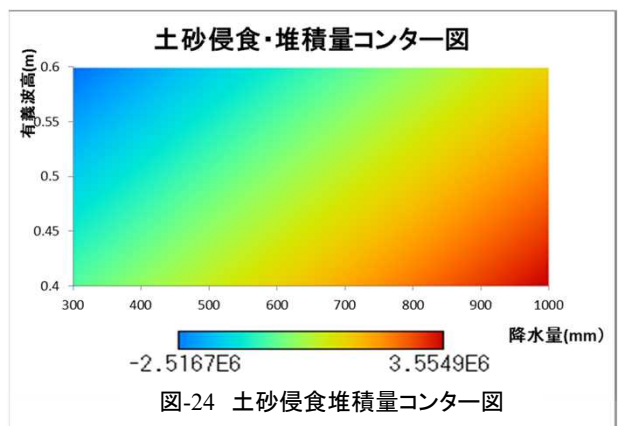
#### Some of Obtained Conclusions

- 1. 2000年以降の中津干潟の長期的傾向としては、顕著な侵食・堆積は認められないが、近年では堆積・侵食の振幅が増大傾向にある。
- 2. 2017年の九州北部豪雨災害に伴う出水では、翌春までの顕著な泥質化が認められた。18年も比較的出水しているが、細砂が流出した傾向が認められる。
- 3. 降雨データ解析によれば、17・18年の顕著な差異は、年最大降雨強度であり、40 mm/h 以上の強い雨が降ると泥が流出することが示唆された。
- 4. 数値計算の結果, 観測結果をもとにした仮説の通り, 泥水は出水と潮汐残差流によって沖向き・東向きに流出し, 一定流量計算ではほぼ1日, ハイドログラフを用いれば2~3日で観測結果を再現する.
- 5. 冬季は北西風による海浜流が加わり、より東向きの土砂輸送が強化される。出水はないものの、干潟の泥や砂が中津港に向かって流出する。
- ! 通年的な汀線近傍の堆泥機構の解明、泥の生産機構の解明と将来予測・対策検討

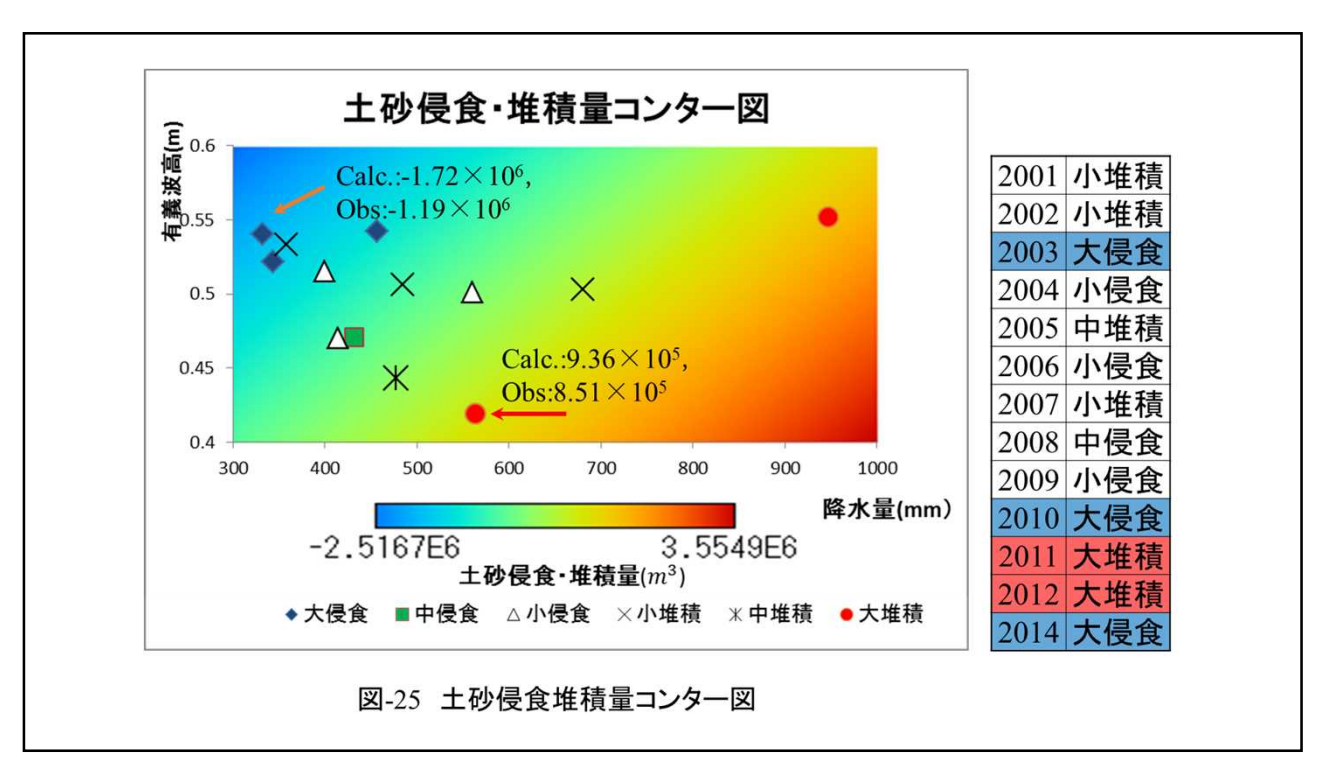
73

#### ■山国川・中津干潟の侵食・堆積機構の解明ー多変量解析

重回帰式  $\Delta V = a_0 + a_1 r + a_2 H_{1/3}$ 



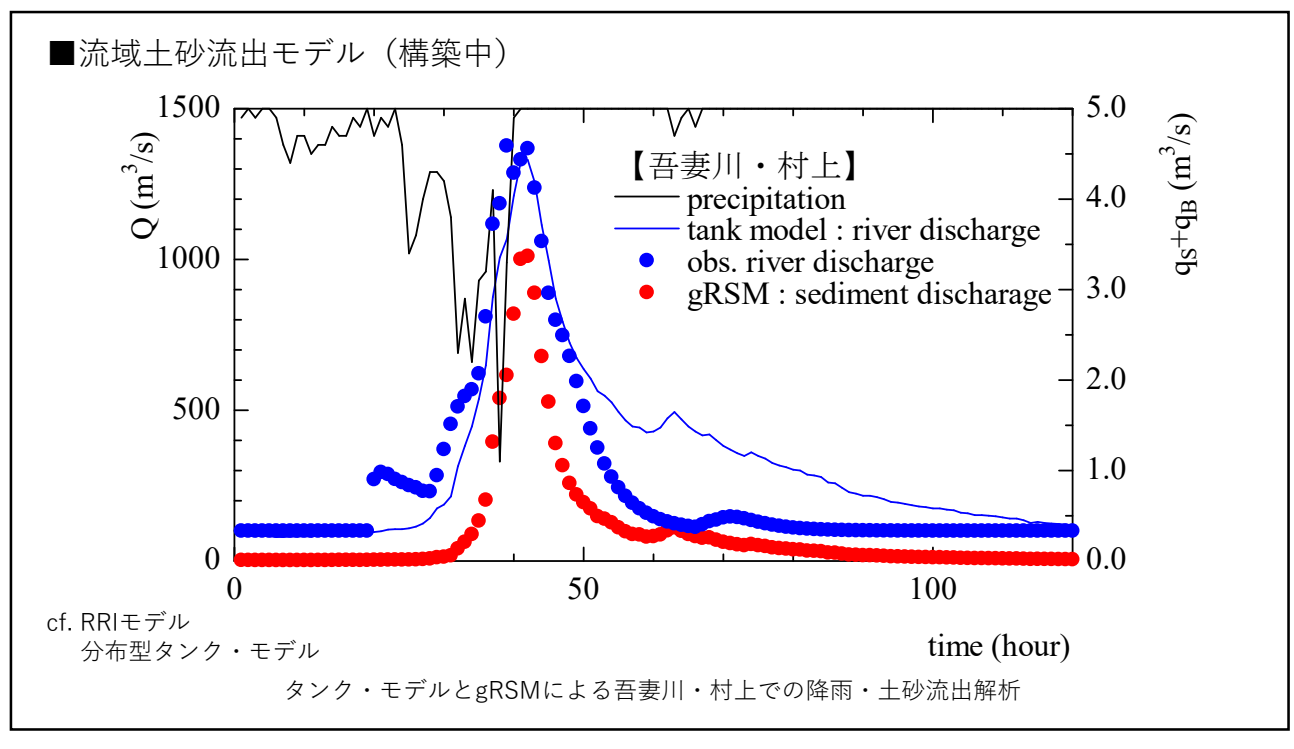
目的変数:土砂侵食•堆積量∠V 説明変数:降水量r•有義波高H1/3  $\Delta V = 5.51 \times 10^3 r - 1.11 \times 10^7 H_{\frac{1}{3}} + 2.46 \times 10^6$ 



5. 数値計算:流域土砂流出モデル(構築中)







# 6. 地域シンポジウム「中津アカデミア」





#### 7. 主な結論

- ①対象フィールドとする山国川・中津干潟において、2017年九州北部豪雨災害による出水による顕著な泥質化が認められた、泥質化は翌春には解消された。
- ②2018年も降雨量・総流量はほぼ同等であったが、細砂の供給があった。17,18年の顕著な相違は年最大降雨強度であり、これが山地・河川からの流出土砂の粒径を決めている可能性が示唆された。
- ③申請者らが開発しているWDM-POMとgRSMによって、17年出水による泥質化を定性的に再現することができた。現在、定量的な検証を行っている。
- ④タンク・モデルとgRSMによって利根川上流吾妻川流域において流域土砂流出計算を行った。現在、分布型化して河道モデルと連携し、現地観測データによるモデルの妥当性検証を行っている。
- ⑤地域シンポジウム「中津アカデミア」に4回目の参加を行い、2学生の発表と申請者はパネル・ディスカッションのパネラーとして議論を行った。相変わらず地域住民の多数の参加があり、山国川と中津干潟に対する注目度の高さが伺えた。

81

#### 8. 今後の予定

- ①流域土砂流出モデルの分布型化→利根川上流域,山国川上流域全域
- ②河道モデルの構築 …分布型流域土砂流出モデルの河道モデル
- ③現地観測データによるモデルの妥当性検証
- (4)WDM-POMとの連結によるSPR-WDMPOMの構築
- ⑤山国川・中津干潟への現地適用と現地観測データによる妥当性検証
- ⑥耶馬渓ダム・平成大堰の排砂による中津干潟の泥質化抑制対策の検討
- ⑦利根川上流域への現地適用による八斗島周辺部河床変動計算における上 流端境界条件の検討

